

UNIVERZITA PALACKÉHO V OLMOUCI

PŘÍRODOVĚDECKÁ FAKULTA

Katedra organické chemie

C-C coupling N-acylaminopyrazolů a vývoj ligandu pro cross-couplingové reakce

Diplomová práce

Autor:	Bc. Hana Zemánková
Studijní program:	B1407 Chemie
Studijní obor:	Bioorganická chemie a chemická biologie
Typ studia:	Prezenční
Vedoucí práce:	Mgr. Lukáš Jedinák, PhD.

Olomouc 2017

Prohlášení:

Prohlašuji, že jsem závěrečnou práci zpracovala samostatně a že jsem uvedla všechny použité informační zdroje a literaturu. Tato práce ani její podstatná část nebyla předložena k získání jiného nebo stejného akademického titulu.

Souhlasím s tím, aby má práce byla zpřístupněna v knihovně Katedry organické chemie, Přírodovědecké fakulty, Univerzity Palackého v Olomouci.

V Olomouci dne:

Podpis:

Poděkování

Obrovské díky patří především vedoucímu této diplomové práce Mgr. Lukášovi Jedinákovi, Ph.D. za vynikající přístup, odbornost, výbornou komunikaci a především obrovskou trpělivost při vedení. Dále děkuji celé Katedře organické chemie PřF Univerzity Palackého v Olomouci za umožnění realizace práce na tomto tématu.

Tato diplomová práce vznikla za podpory grantů IGA_PrF_2017_009 (Vývoj nových biologicky aktivních látek) a IGA_LF_2017_028 (Cíle a buněčné interakce chemických látek)

Bibliografická identifikace:

Jméno a příjmení autora: Bc. Hana Zemánková

Název práce: C-C coupling N-acylaminopyrazolů a vývoj ligandu pro cross-couplingové reakce

Typ práce: diplomová

Pracoviště: Katedra organické chemie Přírodovědecké fakulty
Univerzity Palackého v Olomouci

Školitel: Mgr. Lukáš Jedinák, Ph. D.

Rok obhajoby práce: 2017

Abstrakt:

Hlavním cílem této práce byla příprava aminopyrazolů modifikovaných na exocyklické aminoskupině a v poloze C4 Suzuki-Miyaura cross-couplingovou reakcí. Dále se tato práce zabývá designem a vývojem hydrofilních ligandů pro cross-couplingové reakce. Na základě literárních poznatků byly navrženy 4 fosfinové struktury inspirované známým a účinným ligandem APhos. Hydrofilitu zajišťuje kvarterní dusíkaté centrum, které je společné pro všechny tyto navržené ligandy.

Klíčová slova: Suzuki-Miyaura, boronová kyselina, cross-coupling, ligand

Počet stran: 56

Počet příloh: 12

Jazyk: česky

Bibliographical identification:

Author's first name and surname: Bc. Hana Zemánková

Title: C-C coupling of aminopyrazoles and the development of the ligand for cross-coupling reaction

Type of thesis: diploma

Department: Department of Organic Chemistry, Faculty of Science, Palacky University

Advisor: Mgr. Lukáš Jedinák, Ph. D.

The year of presentation: 2017

Abstract:

The main goal of this thesis was a preparation of aminopyrazoles with modification at exocyclic amino group and at C4 position by Suzuki-Miyaura cross coupling reaction. This thesis also deal with a design and development of hydrophilic ligands for cross couplings. 4 phosphine structures were designed based on facts in literature and they are inspired by well-known and efficient ligand called APHOS. Hydrophilicity is provided by a quaternary nitrogen site, which is common for all these designed ligands.

Keywords: Suzuki-Miyaura, cross-coupling, boron acid, ligand

Number of pages: 56

Number of appendixes: 12

Language: Czech

Obsah

1	Úvod.....	7
2	Teoretická část	8
2.1	Suzuki-Miyaurova cross-coupling reakce	8
2.2	Katalýza cross-couplingových reakcí	12
2.2.1	Hydrofilní katalytické systémy	12
3	Výsledky a diskuze	26
3.1	Příprava aminopyrazolů modifikovaných v C4 poloze prostřednictvím Suzuki-Miyaurovy reakce	26
3.1.1	příprava aminopyrazolů modifikovaných v poloze C5 cyklopropylkarboxamidovou skupinou	27
3.1.2	Příprava aminopyrazolů modifikovaných v poloze C5 fenylmočovinou .	30
3.1.3	Vliv dvou reakčních center pro Suzuki-Miyaurovu reakci.....	34
3.2	Vývoj hydrofilních ligandů pro Suzuki-Miyaura reakce	36
3.2.1	Syntéza ligandů s dusíkatým centrem - 122, 123	37
3.2.2	Syntéza kyslíkatých ligandů 124, 125	43
4	Závěr	46
5	Experimentální část.....	47
6	Přílohy.....	55

1 Úvod

Cross-couplingové reakce patří k velmi efektivním metodám tvorby C-C vazby. Tato diplomová práce je zaměřena na Suzuki-Miyurovu reakci, která umožňuje spojení aryl- případně heteroarylhalogenidů s různými typy boronových kyselin. Suzuki-Miyaura coupling byl objeven v roce 1979¹ a od té doby až dosud je velmi intenzivně studován.

Cílem této diplomové práce byla syntéza aminopyrazolů jednak modifikovaných na exocyklické aminoskupině v poloze C5 a také na uhlíku v poloze C4 právě Suzuki-Miyaura couplingem. Pro reakce byly zvoleny boronové kyseliny jak elektronově bohaté, tak elektronově chudé, a v neposlední řadě také heteroarylboronové kyseliny.

Hlavní cíl práce, tedy samotné couplings s aminopyrazoly, vychází z předchozí série výzkumů, kdy byly vyvíjeny optimální podmínky, které byly poté aplikovány právě na sérii aminopyrazolů modifikovaných na exocyklické aminoskupině. Nejprve byly cross-couplings realizovány s amidickými deriváty v poloze C5 na pyrazolovém skeletu. Další set derivátů spočíval v zavedení fenyльмоčoviny, pro kterou velmi často bývá charakteristická termická nestabilita a tedy při vyšších teplotách dochází k hydrolyze.

Druhá část práce je fokusována na vývoj nových ligandů, které by mohly být součástí katalytického systému. Jak je uvedeno v teoretické části, katalytický systém těchto organokovových reakcí je sestaven ze zdroje palladia a ligandu. Koordinací palladia s ligandem dochází k redukci palladia z oxidačního stavu 0 na oxidační stav II a může být zahájen celkový reakční cyklus.

Jelikož až 80 % celkového chemického odpadu je tvořeno organickými rozpouštědly², které bývají často velmi toxické k životnímu prostředí a mají řadu dalších nevýhod, v současnosti je velkým trendem výzkum hydrofilních ligandů, které mohou být použity ve vodném prostředí. Hydrofilita bývá například upravována zaváděním hydrofilních skupin do molekul již známých ligandů. Touto prací byl rovněž zahájen i vývoj zcela nových hydrofilních ligandů inspirovaných strukturou APhos, velmi známého a často využívaného fosfinového ligandu.

2 Teoretická část

2.1 Suzuki-Miyaurova cross-coupling reakce

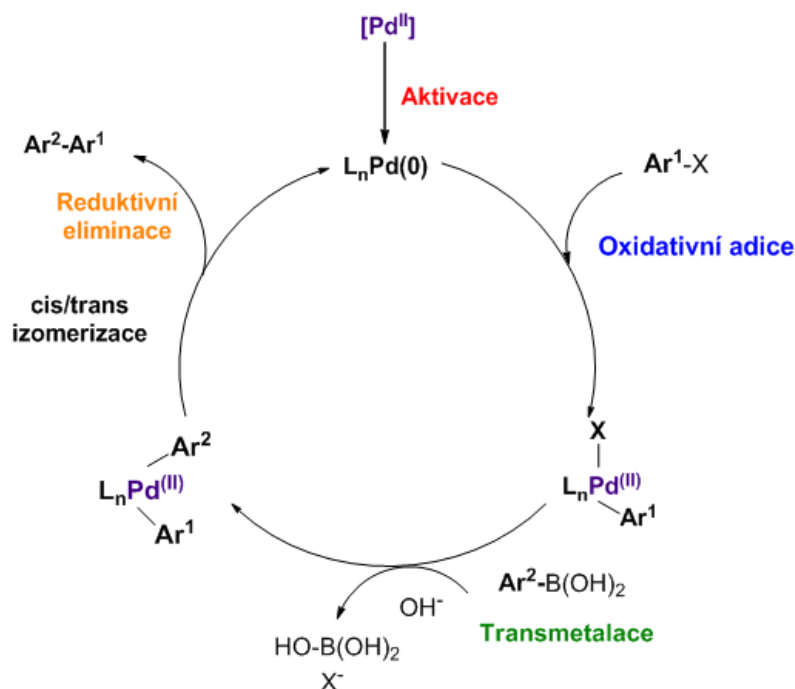
Suzuki-Miyaurova cross-coupling reakce, která se stala úspěšnou a velmi využívanou metodou k tvorbě C-C vazby, byla objevena v roce 1979^{3,4}. Jedná se o coupling organoboronových kyselin s arylhalogenidy za přítomnosti katalytického množství palladia, případně jiného přechodného kovu. Suzuki-Miyaurova reakce se stala velmi účinnou metodou přípravy různě substituovaných biarylů a umožňuje konverzi i se substráty, které při použití jiných metod tvorby vazby uhlík-uhlík vykazují značné problémy.

Kromě obvykle vysokých výtěžků Suzuki-Miyaura reakcí je obrovskou výhodou⁵, že tyto cross-couplingy probíhají již za velmi mírných podmínek a v neposlední řadě také komerční dostupnost a stálost různých typů boronových kyselin. Zároveň jejich předností je i fakt, že oproti jiným organometalickým reagentům jsou daleko šetrnější k životnímu prostředí a odstranění vznikajících vedlejších produktů z reakčních směsí je realizovatelná velmi snadno oproti jiným organokovům. Většina aryl- i alkylboronových kyselin je inertní vůči vzduchu a vysokým teplotám a dá se velmi dobře rekrystalizovat z alkoholu nebo vody.

Ve srovnání s Grignardovými činidly, Suzuki-Miyaura cross-coupling umožňuje použití různě substituovaných boronových kyselin⁶, u Grignardových reagentů bývá často přítomnost jiné reaktivní skupiny dalším cílem ataku činidla a tím pádem vzniká často směs nežádoucích výsledných sloučenin. Alternativou je také použití organokovů s cínem, které sice minimalizují tento efekt, ale problémy spojené s vysokou toxicitou sloučenin cínu a špatnou izolací produktů, tuto variantu příliš nepodporují.

Mechanismus reakce⁷ (Schéma 1) spočívá v použití vhodného palladnatého prekatalyzátoru v kombinaci s ligandem, který je nejprve koordinován na palladium za vzniku formálního oxidačního stavu Pd(0), čímž je aktivován katalytický cyklus reakce.

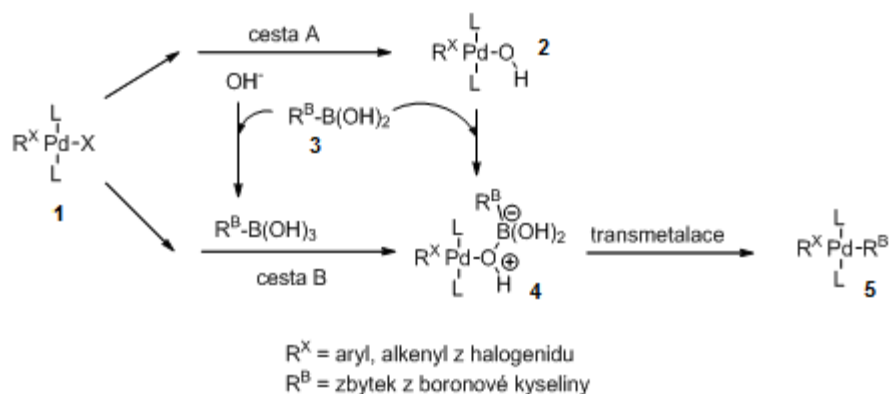
Schéma 1: Obecné znázornění mechanismu Suzuki-Miyaura cross-couplingu.



Oxidativní adicí 1-alkenyl, 1-alkynyl, allyl, benzyl či arylhalogenidů na Pd(0) dochází ke vzniku stabilního *trans-o*-palladium(II) komplexu, přičemž právě tento krok velmi často determinuje rychlost celého couplingu. Průběh oxidativní adice může záviset na přítomnosti elektrony-odtahujícího substituentu arylhalogenidu (případně 1-alkenylhalogenidu), čímž je snižována elektronová hustota na vazebném centru a je podpořena vazba na Pd. Významnou roli hraje rovněž i typ ligandu. Pokud je heteroatom, který se koordinuje na palladium, nukleofilnější, k vazbě dochází lépe. Proto je důležité nukleofilitu heteroatomu podpořit například substitucí skupinou, která systému elektrony dodává.

Následujícím krokem mechanismu je transmetalace⁸. Trojvazný bor ve formě arylboronové kyseliny vystupuje jako Lewisova kyselina a tím dochází k tvorbě boronátu **4**, jak je uvedeno ve schématu 2. Boronát **4** je daleko reaktivnější (nukleofilnější) než příslušná boronová kyselina a účastní se reakce s Pd(II) komplexem **2** – transmetalace – za vzniku nového komplexu **5**.

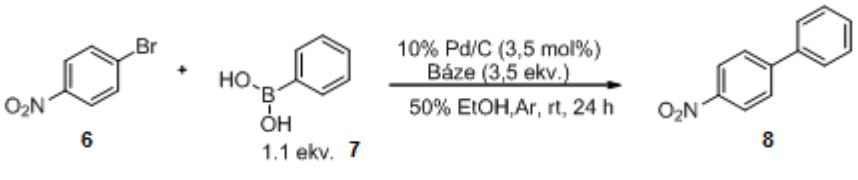
Schéma 2: Transmetalace



Reduktivní eliminací poté dochází k samotné tvorbě C-C vazby a vzniku produktu, přičemž se Pd(II) komplex redukuje na Pd(0), čímž dochází k regeneraci katalyzátoru, který tak může vstoupit do dalšího katalytického cyklu. Význačnou roli při reductivní eliminaci hraje objemnost substituentů ligandu. Bylo vyzkoušeno, že čím větší je sterický efekt ("bulky" efekt), tím rychleji reductivní eliminace probíhá.

Oproti Suzuki-Miyaurově reakci cross-coupling reakce cínu a zinku nevyžadují přítomnost báze. V případě použití organoboronových sloučenin je funkce báze nezbytná. Mezi často aplikované patří například uhličitan sodný, hydrogenuhličitan sodný, triethylamin a alkalické hydroxidy jako TIOH. Spousta publikací je zaměřena právě na vliv různých bází při Suzuki-Miyaura couplingu. Například japonský vědecký tým v čele s Dr. T. Maegawou⁹ aplikoval různé báze na reakci *p*-bromnitrobenzenu s kyselinou fenyloboronovou a dospěli k výsledkům, které jsou uvedeny v Tabulce 1.

Tabulka 1: Vliv použité báze na vznik produktu podle skupiny Dr. Maegawy.

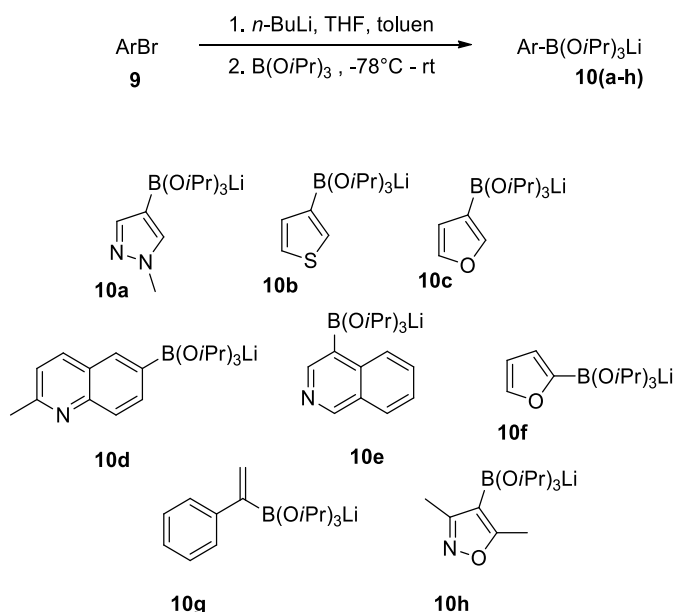
	
<i>Báze</i>	<i>Výtěžek podle GC</i>
<i>Et₃N</i>	45 %
<i>DABCO</i>	Reakce neproběhla
<i>Na₂CO₃</i>	98 %
<i>NaHCO₃</i>	92 %
<i>NaOH</i>	5 %
<i>NaOAc</i>	59 %
<i>Na₂HPO₄</i>	34 %
<i>Na₃PO₄ · 12 H₂O</i>	92 %

Výzkum prokázal, že nejlepší výsledky při konverzi vykazovaly slabší anorganické báze jako Na₂CO₃, NaHCO₃ a Na₃PO₄ · 12 H₂O. Následně autoři použili tyto báze a testovali také vliv rozpouštědla. V tomto případě se jako nejvhodnější rozpouštědla osvědčily alkoholy jako methanol, ethanol, isopropanol a jejich 50-ti procentní směsi s vodou. Dipolární aprotická rozpouštědla jako dimethylformamid nebo dimethylacetamid, případně nepolární rozpouštědla jako je toluen, která patří k běžným volbám při ostatních palladiem katalyzovaných reakcích, nebyla při Suzuki-Miyaura couplingu příliš efektivní.

Buchwald a Oberli¹⁰ objevili, že reakcí s lithiium-triisopropylboráty lze ze značné míry zabránit protodeboronaci, a to zejména u pětičlenných heteroarylboronových

kyselin, a tím lze i posílit výtěžek reakce. Tyto lithium triisopropylboráty lze připravit jedním syntetickým krokem, kdy reakcí arylbromidu s *n*-butyllithiem vzniká základní intermediát, který je podroben reakci s triisopropylborátem. Schéma 3 znázorňuje vznik výchozích substrátů pro cross-couplingy.

Schéma 3: Vznik lithium-triisopropylborátů z heteroaromatických boronových kyselin.



2.2 Katalýza cross-couplingových reakcí

Jak je uvedeno ve Schématu 1 (s mechanismem), pro katalýzu Suzuki-Miyaurovy reakce hraje významnou roli krok, kdy je palladium(II) formálně redukováno koordinací ligandu na oxidační stav (0), čímž je celý katalytický cyklus aktivován. Volba ligandu je proto pro průběh reakcí velmi zásadní.

Velice zajímavé je také využití chemicky modifikovaného grafenu (CDG)¹¹, grafit-oxidu, případně různých typů polymerů^{12, 13} pro heterogenní katalýzu Suzuki-Miyaurových reakcí, kdy je palladium ukotveno právě na pevném nosiči.

V následujících podkapitolách jsou rozebrány významné homogenní katalytické systémy, které vykazují při Suzuki-Miyauro cross-coupling reakcích výborné výsledky.

2.2.1 Hydrofilní katalytické systémy¹⁴

Obrovskou výhodou hydrofilních katalytických systémů je možnost použití vody jako majoritního rozpouštědla při reakčních podmínkách. Oproti organickým rozpouštědlům, jejichž předností je sice těkavost a tím pádem i snadná odstranitelnost,

ale zároveň jsou velmi často toxické, hořlavé a neobnovitelné, nedokáže voda rozpustit většinu organických molekul. Mezi významné výhody vody jakožto rozpouštědla patří především netoxičita, nehořlavost, finanční nenáročnost a vysoká tepelná kapacita.¹⁵

Návrh hydrofilních ligandů často spočívá v zavedení hydrofilních skupin do hydrofobních molekul, čímž je rozpustnost ve vodě zvýšena. Mezi velmi často využívané iontové hydrofilní substituenty patří tedy sulfonáty, karboxyláty, fosfonáty nebo amoniové skupiny. Do struktury ligandu lze také zavést neiontové skupiny, kterými jsou například polyoly, sacharidy nebo polyethery nebo například amfifilní skupiny¹⁶. Rozpustnost lze také zvýšit přidáním s vodou mísitelných organických rozpouštědel.

Rozpustnost ligandů ve vodě záleží na poměru nevodíkových atomů k hydrofilním skupinám v molekule a na jejich povaze. Rozpustnost monosulfonovaného *m*-TPPMS oproti *m*-TPPTS, který na sobě nese navázané 3 sulfonáty je až desetinásobně vyšší. Ještě vyšší hydrofilitu vykazují fosfonáty. Ligandy se zavedeným terciárním aminem jsou při $\text{pH} \leq 6$ více rozpustné v organických rozpouštědlech. Při snížení okolního pH však dochází k protonizaci dusíkatého centra, což způsobuje zvýšení afinity k vodnému prostředí.

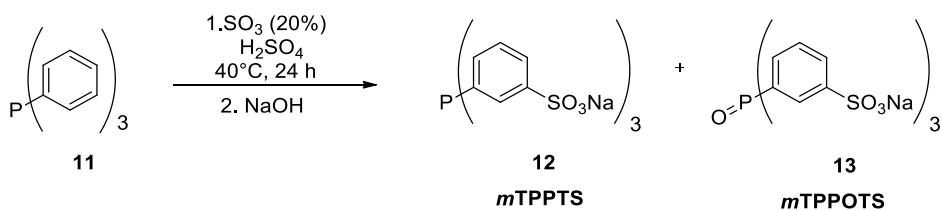
Mezi nejrozšířenější hydrofilní ligandy patří fosfiny, které lze velmi snadno připravit, a jsou stabilní. Podle polárních funkčních skupin lze rozdělit hydrofilní ligandy na aniontové, kationtové a neutrální.

2.2.1.1 Aniontové hydrofilní systémy

Tyto systémy patří mezi nejběžnější a je pro ně charakteristická přítomnost slabě bazické skupiny, která je často reprezentována sulfonáty, fosfonáty a karboxyláty. Velkou předností je stálost v širokém rozmezí pH.

Příprava ligandů, které nesou sulfonát navázaný přímo na arylu, může spočívat například v reakci trifenylofosfinu s oleem¹⁷ a následné neutralizaci NaOH. Při reakci dochází také k oxidaci na příslušný oxid a vzniká směs, jak je uvedeno ve schématu 4.

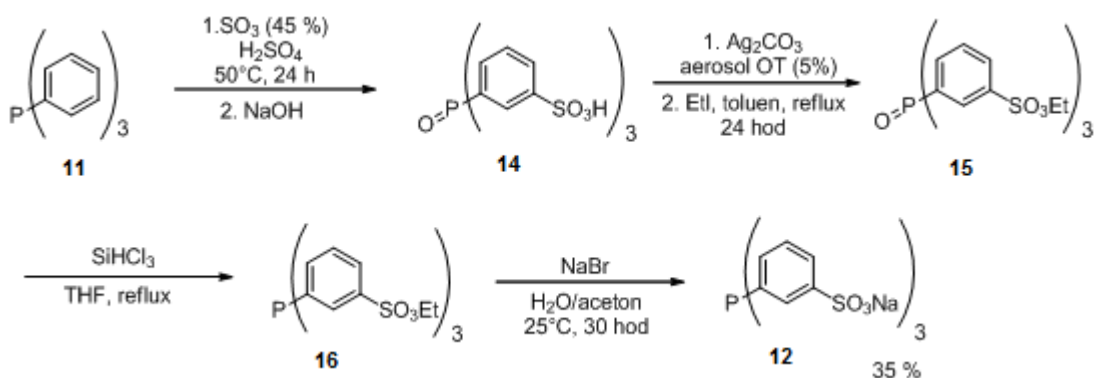
Schéma 4: Příprava trisulfonovaného derivátu *m*-TPPTS.



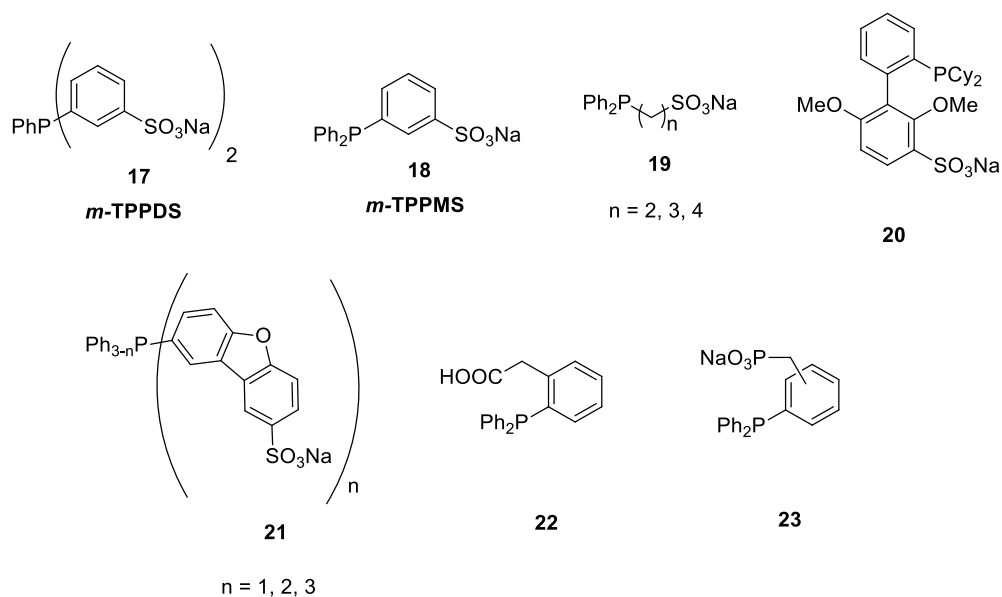
Optimalizací reakčních podmínek bylo dosaženo vzniku produktu z 85 %, zbytek byl tvořen právě oxidem **13**.

Další syntetická strategie¹⁸, která je naznačena schématem 5, spočívá ve využití oxidace fosforu, vytvoření esteru a následně v redukci trichlorsilanem a hydrolyze příslušného esteru.

Schéma 5: Syntéza sulfonovaného fosfinu s využitím oxidace fosforu.



K významným zástupcům těchto aniontových hydrofilních ligandů, které mohou být využívány právě při Suzuki-Miyaurově couplingu patří např. již zmíněný *m*-TPPTS (**12**), ale i mono- a di-substituované analogy *m*-TPPMS a *m*-TPPDS. Několik dalších ligandů je uvedeno v obrázku 1.

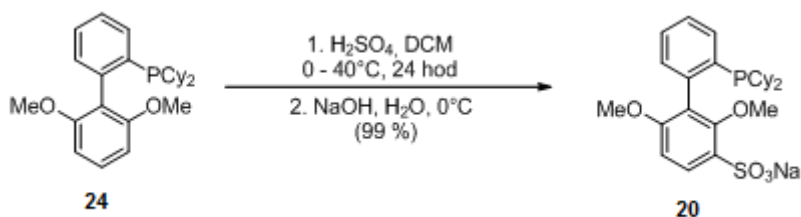


Obrázek 1: Vybrané aniontové hydrofilní ligandy.

Článek z roku 1990¹⁹ uvádí první případ, kdy byl použit hydrofilní ligand **18** (*m*-TPPMS) ve formě sodné i draselné soli pro palladiem katalyzované alkylace a cross-coupling reakce.

Anderson a Buchwald²⁰ substituovali elektronově bohatý aromát sloučeniny **24**, který lze i bez sulfonace rovněž uplatnit jako výborný ligand, koncentrovanou kyselinou sírovou a následným působením hydroxidu sodného s vynikajícím výtěžkem 99 % za vzniku 3'-monosubstituovaného ligandu **20**, jak uvádí schéma 6.

Schéma 6: Sulfonace koncentrovanou kyselinou sírovou a následný vznik sodné soli.



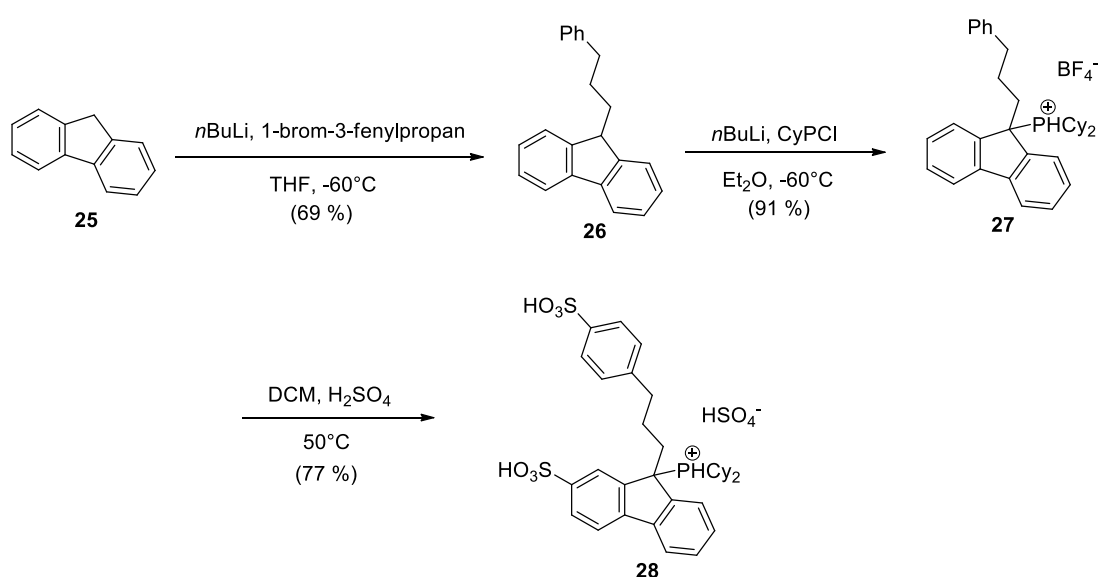
Při následných aplikacích na Suzuki-Miyaura cross-couplingové reakce tento ligand **20** vykazoval vynikající úspěšnost reakcí s výtěžky přesahujícími 90 %. Za výhodu lze také považovat jeho vysoká termická stabilita i stabilita při působení mikrovlnného záření.

Autoři rovněž vyzkoušeli i reakce s hydrofilními arylhalogenidy a

heteroarylhalogenidy, které obecně patří k relativně problematickým substrátům pro Suzuki-Miyaurův coupling. Hydrofilnější ligand byl při konverzích značně úspěšnější než jeho analog bez sulfonátu.

Jako další příklad hydrofilního ligandu lze uvést ligand **28**, který lze užít i pro couplingy s pyridylhalogenidy a chinolinové sloučeniny, které svou bazicitou a vysokou elektronovou hustotou na dusíkovém atomu inhibují koordinaci palladia. Syntézu ligandu znázorňuje schéma 7. Ligand byl připraven v celkovém výtěžku 44 %.

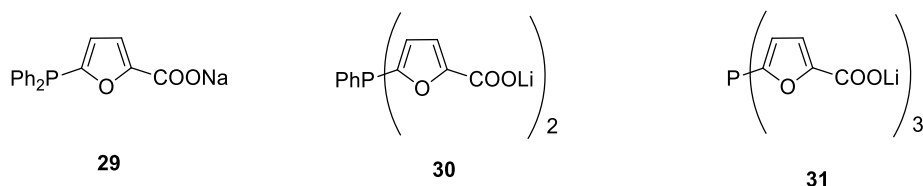
Schéma 7: *Syntéza disubstituovaného fluorenyldicyklohexylfosfinu.*



Ligand **28** poskytoval v kombinaci s Na_2PdCl_4 excelentní výtěžky cross-couplingů s různě substituovanými pyridiny i chinoliny od 90 do 99 %.

Jak již bylo zmíněno, hydrofilitu lze zvýšit i zavedením karboxylátu do fosfinu. V literatuře je popsána řada těchto hydrofilních ligandů. Jako příklad lze uvést například furylfosfiny²¹, které jsou uvedeny ve schématu 8.

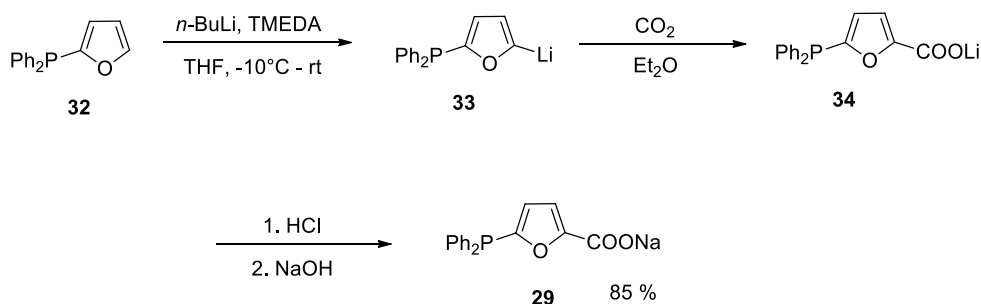
Schéma 8: Příklady hydrofilních furylfosfinů s inkorporovanou karboxylovou skupinou.



Rozpustnost ligandů **29-31** vzrůstá s počtem karboxylátů ve struktuře, tudíž nejméně hydrofilní je **29** (250 g/l vody) a nejvíce **31** (950 g/l vody). Uvedené ligandy byly vyzkoušeny na hydrogenaci, hydroformylaci a Heckově couplingu.

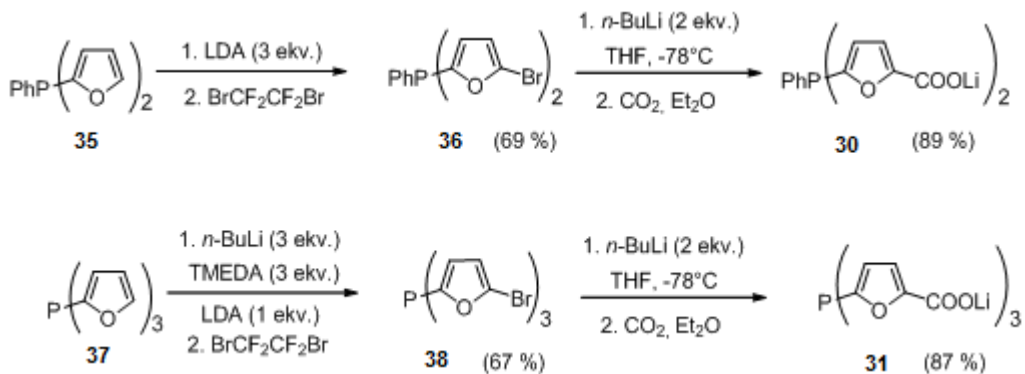
Syntéza **29** spočívá v metalaci 2-furylfosfanu, která je následována reakcí vzniklého karbaniontu s elektrofilem. Vzniklý intermediát je poté transformován na sodnou sůl (Schéma 9).

Schéma 9: Syntéza ligandu **29**.



V případě analogů **30** a **31** autoři postupovali nejprve bromací a nabromovaný meziprodukt až poté podrobili reakci s *n*-BuLi a elektrofilní substituci (Schéma 10).

Schéma 10: Syntézy ligandů **30** a **31**.

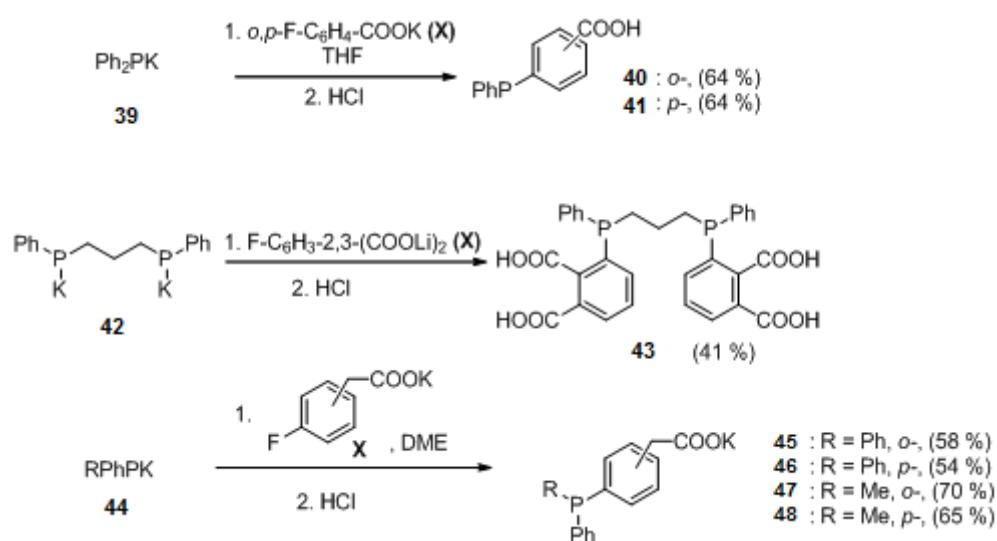


Ligandy se osvědčily zejména při Heckově couplingu jodbenzenu a ethylakrylátu,

kdy bylo dosaženo konverze na produkt s použitím ligandu **29** až z 90 %, ligandu **30** 100 % a ligandu **31** ze 30 %, kdy se ukázalo, že příliš vysoká rozpustnost ve vodě může být do jisté míry i negativním faktorem při couplingu.

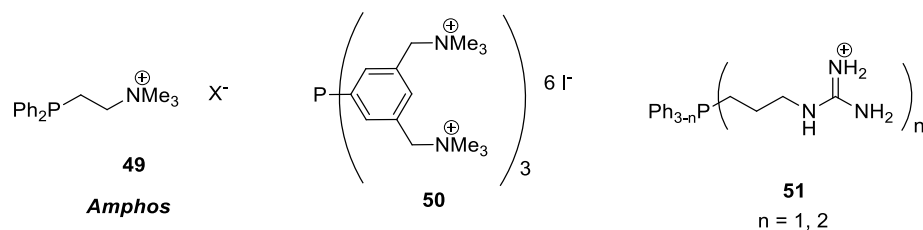
Pro úspěšné ligandy není podmínkou jen přítomnost soli karboxylové kyseliny, v článku od autorů Hingste, Teppera a Stelzera²² jsou uvedeny také fosfiny se skupinou COOH (ligandy **40**, **41** na schématu 11) a -CH₂COOH na fenylu (ligand **45-48**). **43** je uveden jakožto zástupce bidentátního ligandu.

Schéma 11: *Syntézy ligandů s karboxylovou skupinou.*



2.2.1.2 Kationtové hydrofilní systémy

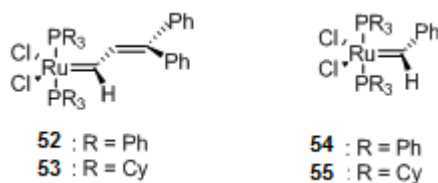
Zavedení kationtové skupiny představuje další možnost, jak zvýšit hydrofilitu molekuly. Mezi nejčastěji využívané funkční kationtové skupiny patří především amoniová a guanidinová. V obrázku 2 jsou uvedeny příklady kationtových a bazických hydrofilních ligandů.



Obrázek 2: *Vybrané kationtové hydrofilní ligandy.*

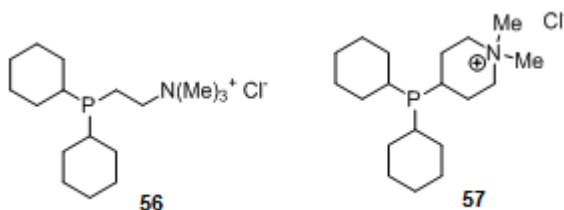
Mezi tyto zástupce patří i skupina Grubbsových katalyzátorů, u kterých je

centrální atom ruthenium. Struktury jsou znázorněny na obrázku 3.



Obrázek 3: Grubbsovy katalyzátory.

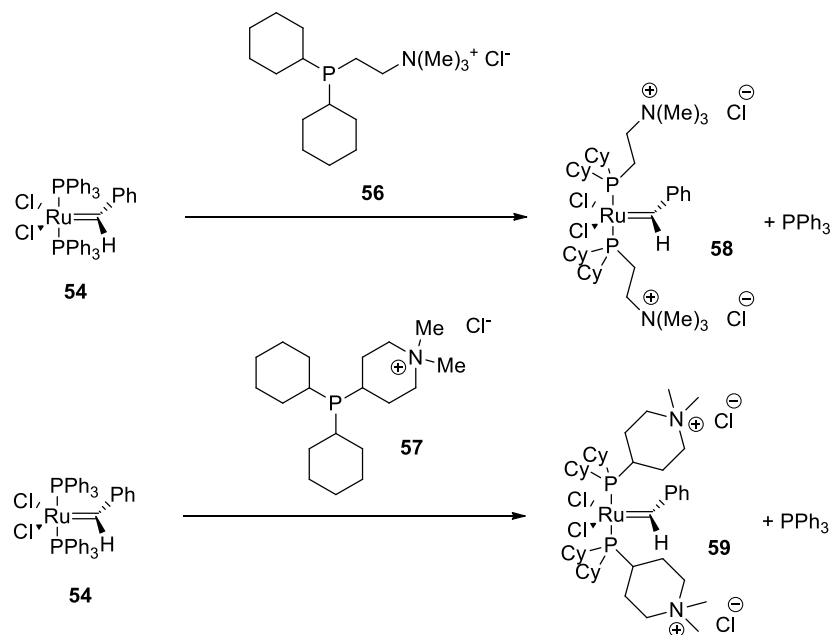
Tyto katalyzátory jsou uplatňovány například při metatezích olefinů²³ a umožňují provedení reakce v protických rozpouštědlech. Metateze může být provedena i s různě a bohatě substituovanými olefiny. Fosfíny, které jsou koordinovány na centrální atom musí být stericky objemné a elektronově bohaté. Autoři z tohoto důvodu vycházeli z modelového ligandu - tricyklohexylfosfinu. Aby docílili větší hydrofility, namísto jednoho cyklohexylu zavedli do struktury kvarternizovaný dusík ve formě soli (ligandy **56** a **57** na obrázku 4), která je ve vodě výborně rozpustná. Alifatický řetězec, který zajišťuje dostatečnou vzdálenost fosforu od dusíku, výborně kompenzuje kladný náboj na dusíkatém centru.²⁴



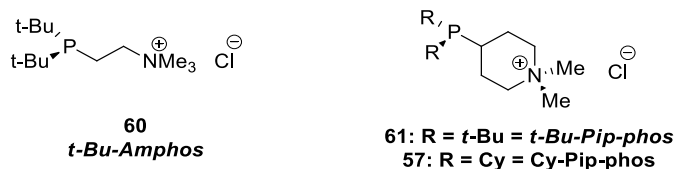
Obrázek 4: Struktury hydrofilních ligandů pro Grubbsovy katalyzátory.

Tyto alkylideny jsou zcela nerozpustné v rozpouštědlech jako aceton, THF a v benzenu, zato velmi dobře rozpustné ve vodě, methanolu a směsích vody s THF. Velikou stabilitu vykazují v methanolu (více než 3 týdny), ve vodě se rozkládají již po 2 dnech a jsou v roztoku vysoce citlivé na vzdušný kyslík, degradují v řádu minut za vzniku zeleného roztoku. Jejich syntéza spočívá v přímé záměně trifenyfosfinu za ligandy **56** a **57** ve struktuře **54**, což uvádí schéma 12.

Schéma 12: Syntéza hydrofilních alkylidenů.



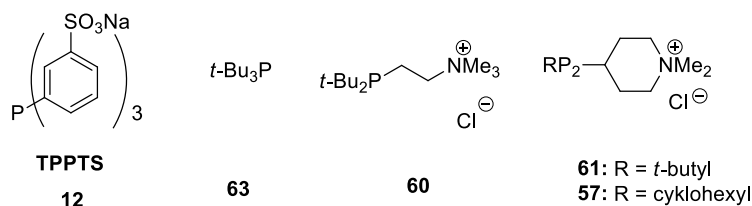
Vynikajícími a velmi často využívanými ligandy, které poskytují vysoké výtěžky při cross-coupling reakcích jsou také ligandy *t*-Bu-Amphos, *t*-Bu-Pip-phos nebo Cy-Pip-phos²⁵. Struktury jsou znázorněné na obrázku 5.



Obrázek 5: Struktury *t*-Bu-Amphos, *t*-Bu-Pip-phos, Cy-pip-phos.

Ligandy **60** (*t*-Bu-Amphos) a **61** (*t*-Bu-Pip-phos) patří k velmi hojně využívaným a velice aktivním fosfinům při Suzuki-Miyauraově couplingu s arylbromidy, které poskytují výborné výtěžky. Reakce probíhají již za laboratorní teploty a volba vody jakožto rozpouštědla závisí na míře hydrofility, případně hydrofobity substrátů reakce. Jsou-li substrátem hydrofobní látky, lze výtěžek reakce zvýšit přidáním vhodného organického rozpouštědla (MeCN, toluen). Obrovskou výhodou použití systému *t*-Bu-Amphos/Na₂PdCl₄ je rovněž vysoká míra regenerace a snadná odstranitelnost katalyzátoru z produktu.

Saughnessy²⁶ a kolektiv také srovnávali účinnost ligandů na obrázku 6 při couplingu *p*-methylfenylbromidu s fenylboronovou kyselinou.

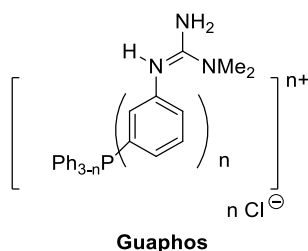


Obrázek 6: Ligandy použité při couplingu *p*-methylfenylbromidu s fenyloborovou kyselinou.

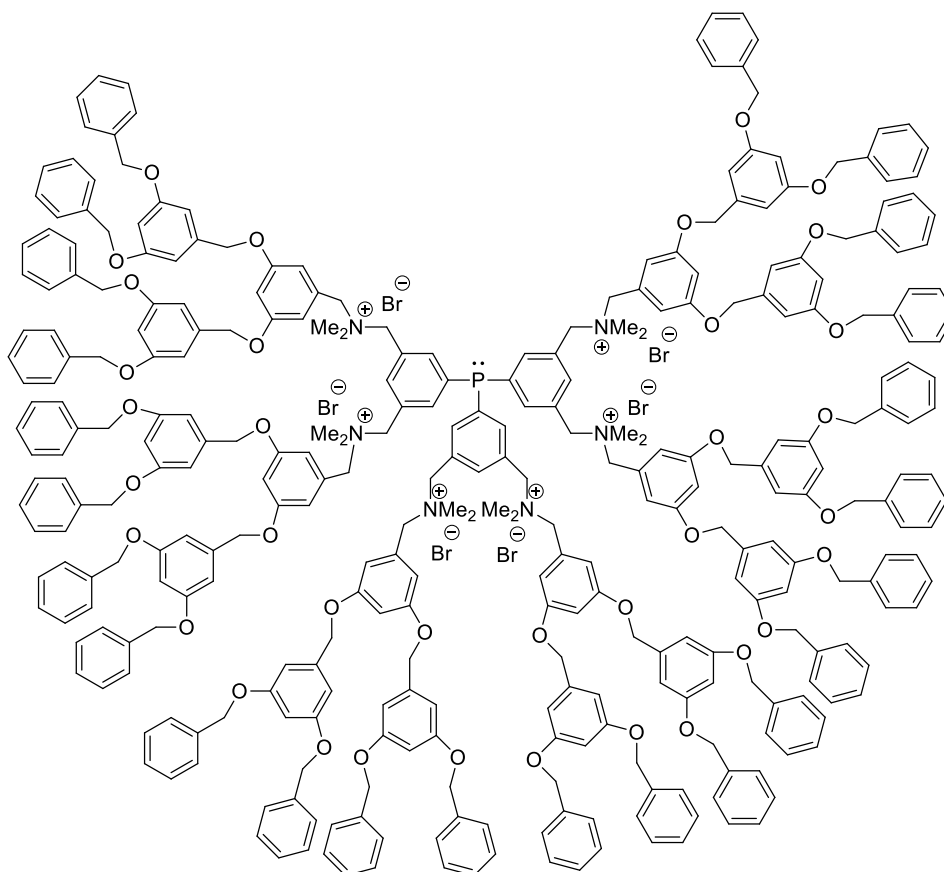
Při modifikacích podmínek autoři měnili poměry ligandu ke zdroji palladia. Nejlepší konverzi na produkt vykazovaly ligandy **60** a **61** v poměru L:Pd = 1:1. Došlo ke vzniku produktu v případě ligandu **60** z 98 %, ligandu **61** z 99 %.

Velmi často využívaným motivem s kladným nábojem na hydrofilním řetězci je také guanidinová skupina. Mono a bifunkční guanidinové fosfíny, které obsahují *m*- a *p*-guanidiniumfenylové skupiny, představují výraznou skupinu těchto ligandů. Z této řady zástupců lze vybrat ten nejznámější příklad, Guaphos.²⁷ Narozdíl od jiných kationtových fosfinů vykazuje Guaphos vysokou stabilitu pouze v bazickém prostředí a je často uplatňován v Heckově a Suzukiho reakci. Struktura Guaphos je znázorněna na schématu 13.

Schéma 13: Struktura Guaphos.



Jako ligandy nachází své užití také zajímavé rozvětvené a stericky prostorné struktury zvané dendrimery.²⁸ Fosfinové skupiny mohou být vázány jak na periferii i v samotném jádře dendrimera. Struktura Dendriphos²⁹, která má v jádru jako koordinující atom fosfor, je znázorněna na obrázku 7.



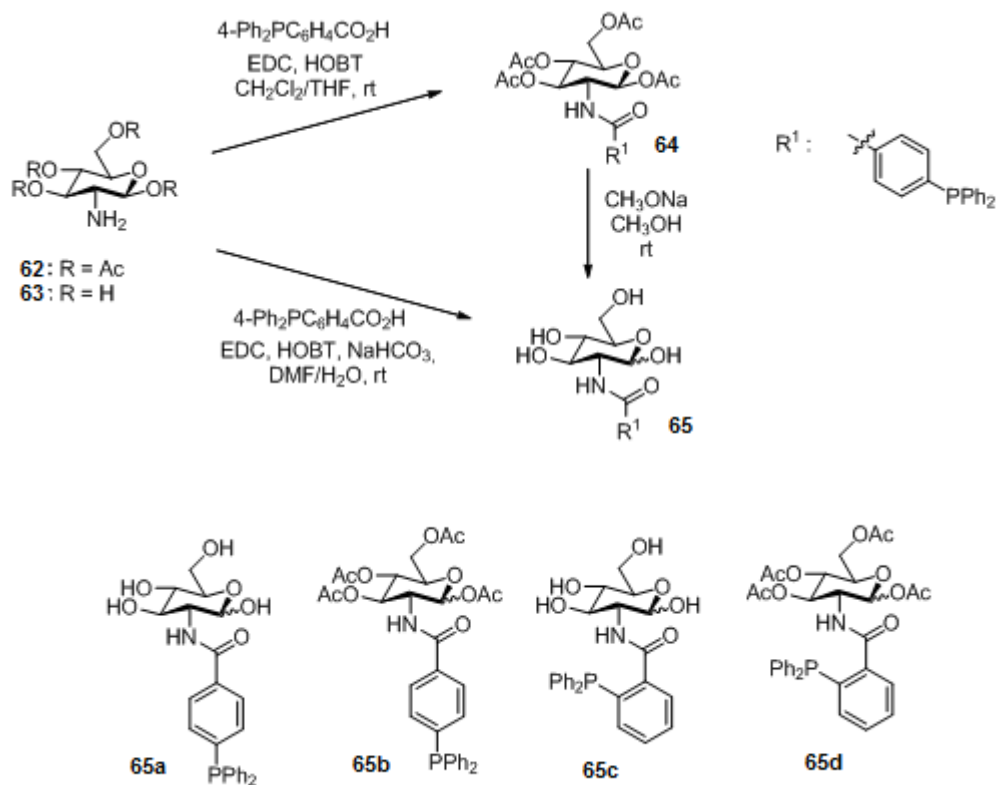
Obrázek 7: Příklad dendrimerické struktury Dendriphos.

2.2.1.3 Neutrální hydrofilní ligandy

Hydrofilitu lze zvýšit nejen zakomponováním iontových vazeb do molekuly, ale také například inkorporací sacharidové jednotky.³⁰ V kombinaci s palladium-acetátem jsou velmi účinnými katalyzátory při Suzuki reakcích, kdy umožňují použití substrátů jak elektronově bohatých tak chudých.

Příprava těchto ligandů je relativně jednoduchá, vychází z peracetylovaného glukosaminu, který reakcí s 4-difenylofosfinobenzoovou ve směsi DCM/THF a za přítomnosti EDC (1-[3-dimethylaminopropyl]-3-ethylkarbodiimid) a HOBT (1-hydroxybenzotriazol) poskytne příslušný peracetylovaný ligand X s 50-ti % výtěžkem. Reakce i další příklady analogických ligandů jsou uvedeny ve schématu 14. Připravit lze i deriváty **65c** a **65d**, kdy je namísto 4-difenylofosfinobenzoové kyseliny použita 2-difenylofosfinobenzoová kyselina.

Schéma 14: Syntéza ligandů z glukosaminu a příklady dalších hydrofilních neutrálních ligandů.



2.2.1.4 Využití hydrofilních ligandů v průmyslovém měřítku

V praktickém využití má voda nezastupitelnou roli, proto i použití hydrofilních ligandů s sebou nese množství výhod.

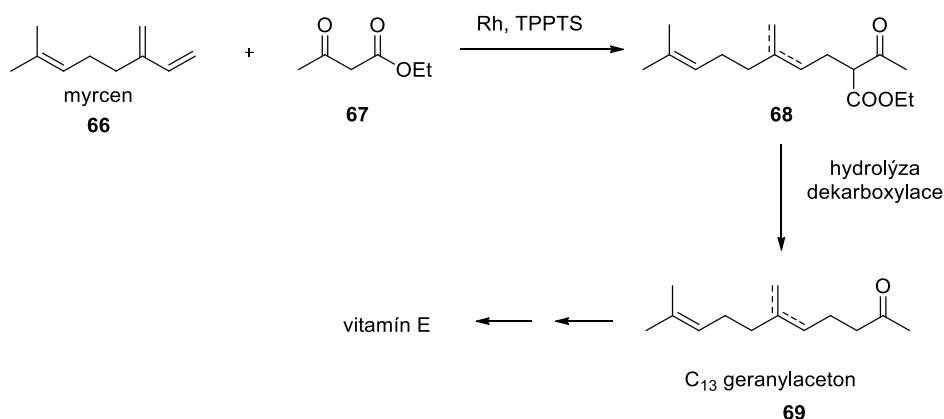
Voda je polární a snadno oddělitelná od nepolárních rozpouštědel ve dvoufázovém prostředí, je nehořlavá, nevýbušná, bezbarvá a bez zápachu, její hustota je výrazně vyšší než u jiných rozpouštědel, má velmi vysokou dielektrickou konstantu, tepelnou vodivost i kapacitu, nízký index lomu, velice dobře rozpouští plyny jako oxid uhličitý, tvoří hydráty, má schopnost tvořit micely, je amfoterní. Právě z tohoto důvodu je vývoj hydrofilních ligandů, které lze snadno aplikovat i v praktickém rozsahu, nejen při laboratorní přípravě, velmi aktuální.³¹

Použití dvoufázové katalýzy s sebou nese rovněž řadu výhod. Jednou z hlavních předností je zajisté snadná oddělitelnost 2 fází, přičemž katalyzátor může být od produktu jednoduše odseparován již právě v tomto kroku. Teplotní stres (například při oddělování katalyzátoru od směsi destilací) může snižovat výtěžek a zároveň omezuje použití citlivých reagensů, případně může způsobovat rozklad již vytvořeného produktu.

Jednou z hlavních aplikací dvoufázové katalýzy ve vodě jsou hydroformylace

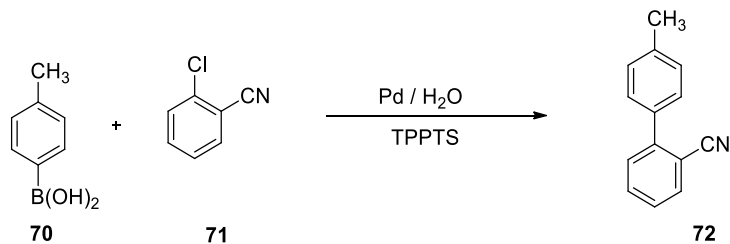
nižších olefinů. Pro katalýzu je používán hydridorhodium karbonyl, na který se váže TPPTS, který obecně patří k velmi hojně využívaným ligandům při výrobách. Své uplatnění nachází například při i výrobě vitamínu E, kde společně se rhodiem katalyzuje reakci acetoacetátu ethylnatého s myrcenem (schéma 15).

Schéma 15: První kroky výroby vitamínu E s uplatněním katalýzy ve vodě.



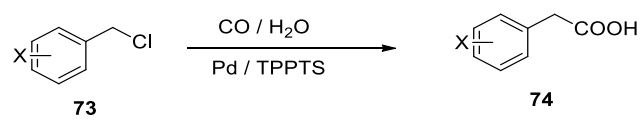
TPPTS lze použít i při realizaci Suzuki-Miyaura reakcí v průmyslovém měřítku. Spojení levných chlorovaných arylhalogenidů s boronovými kyselinami bývá také často katalyzováno s Pd/TPPTS - schéma 16.

Schéma 16: Suzuki-Miyaurův cross-coupling využívaný v průmyslovém měřítku.



Velký význam dvoufázové katalýzy byl zaznamenán také při výrobě kyseliny fenylctové. Zatímco předchozí technologie spočívala v substituci benzylchloridu na benzylkyanid a v následné hydrolýze na výslednou kyselinu, přičemž obrovskou nevýhodou bylo velké množství vzniklé soli, druhý způsob využívající karbonylační metodu zaznamenal vznik soli nižší až o 60 %. Druhou také velmi významnou výhodou je fakt, že potřebný kyanid je jakožto surovina několikanásobně dražší než oxid uhelnatý. Karbonylaci znázorňuje schéma 17.

Schéma 17: *Karbonylace za vzniku fenyloctové kyseliny.*

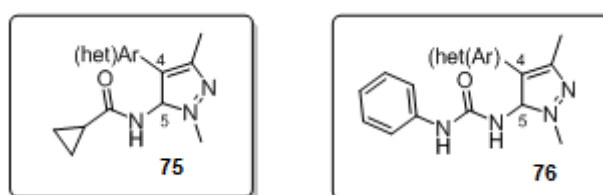


3 Výsledky a diskuze

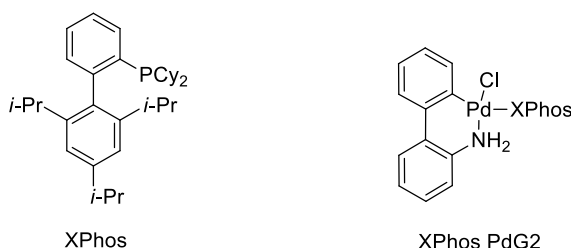
Experimentální výsledky dosažené v rámci řešení diplomové práce lze rozdělit do dvou částí. V první z nich je popsána syntéza série sloučenin odvozených od aminopyrazolu. V připravených derivátech bylo dosaženo diverzity jednak modifikací exocyklické aminoskupiny v poloze 5, jednak arylací polohy 4 prostřednictvím Suzuki-Miyaurovy reakce s použitím různých boronových kyselin. Druhá část je věnována vývoji nových hydrofilních ligandů, které mohou najít uplatnění v katalytických procesech, jakými jsou Suzuki-Miyaurova reakce, Buchwald-Hartwigova reakce, nebo například Heckova reakce. Syntéza ligandů však z časových důvodů nebyla dokončena.

3.1 Příprava aminopyrazolů modifikovaných v C4 poloze prostřednictvím Suzuki-Miyaurovy reakce

Jak již bylo zmíněno, první část této práce je věnována samotným reakcím halogenovaných derivátů pyrazolu s aryl nebo heteroarylboronovými kyselinami. Byly připraveny sloučeniny s modifikací na exocyklické aminoskupině v poloze 5 a dále modifikovány Suzuki-Miyaurovou reakcí v poloze 4. Obecně se jedná o cyklopropylkarboxamidy **75** a fenylmočoviny **76**.



Obrázek 8: Obecné struktury připravených aminopyrazolů.



Obrázek 9: Struktury XPhos a XPhos PdG2

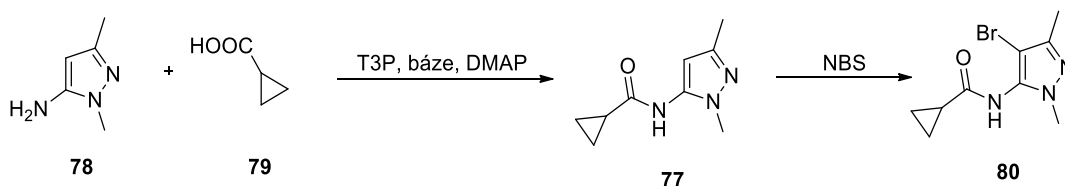
Katalýza byla zajištěna systémem ligandu XPhos a cyklopalladnatého komplexu XPhos Pd G2 (obrázek 9). Reakční podmínky, které byly intenzivně studovány v rámci předchozího výzkumu³², spočívaly v použití právě výše uvedeného katalytického systému společně s uhličitánem draselným jako bází. Velkou výhodou bylo použití směsi

EtOH/H₂O jako rozpouštědla. V závislosti na stabilitě skupiny v poloze 5 na heterocyklickém skeletu musela být upravována i reakční teplota v mikrovlnném reaktoru, kde couplingové reakce probíhaly.

3.1.1 Příprava aminopyrazolů modifikovaných v poloze C5 cyklopropylkarboxamidovou skupinou

Halogenovaný pyrazol **80** byl připraven ve dvou krocích pomocí námi dříve vyvinuté metody (Schéma 18).

Schéma 18: Příprava pyrazolu **80**.

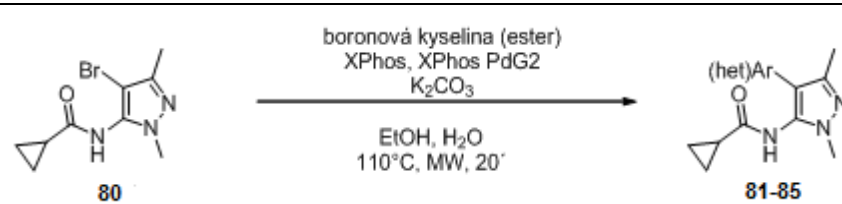
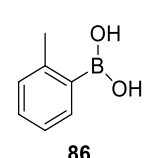
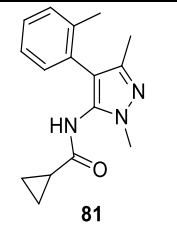
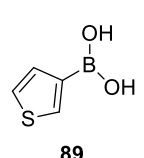
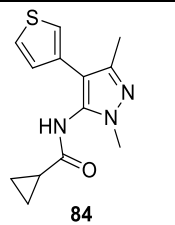
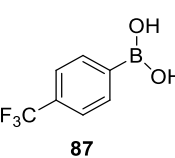
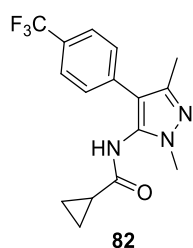
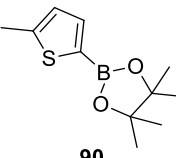
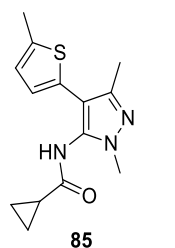
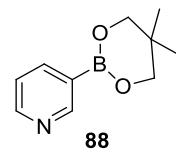
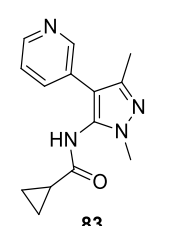


Kondenzací pyrazolu **78** s kyselinou **79** pomocí T3P v přítomnosti báze a katalytického množství DMAP vznikl derivát **77**. Tato látka byla bez předchozí izolace podrobena bromaci *N*-bromsukcinimidem, což vedlo k izolaci pyrazolu **80** ve výtěžku 76 %. Stěžejní reakční krok - samotný coupling - byl proveden podle dříve vyvinuté metodiky (tabulka 2)³³.

Tento syntetický postup dal vzniknout řadě 4-arylovaných pyrazolů **81-85**, jejichž diverzita spočívala v použití různých typů boronových kyselin. Výchozí boronové kyseliny a připravené deriváty i s výtěžky jsou uvedeny v tabulce 2.

Molární poměry reakcí, které byly aplikovány, byly ověřeny předchozím výzkumem. Proto bylo použito vždy 2 ekvivalentů boronové kyseliny ku 1 ekvivalentu výchozího pyrazolu **80** za použití 2 ekvivalentů uhličitanu draselného jako báze. Katalýza byla zajištěna 1 mol % XPhos a XPhos Pd G2.

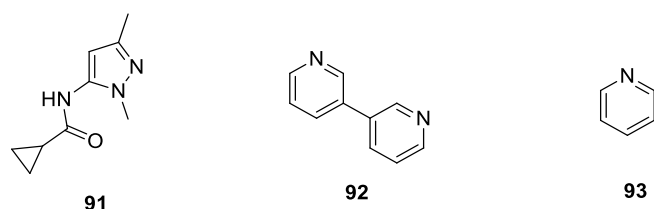
Tabulka 2: Boronové kyseliny a příslušné produkty.

					
<i>Boronová kyselina</i>	<i>Produkt</i>	<i>Výtěžek</i>	<i>Boronová kyselina</i>	<i>Produkt</i>	<i>Výtěžek</i>
		87 %			85 %
		87 %			86 %
		46 %			

Z tabulky 2 je patrné, že pyrazol **80** poskytl produkty **81-85** s vysokými výtěžky (85 – 87 %), a to bez ohledu na to, jestli reakce probíhala s elektronově bohatou nebo elektronově chudou boronovou kyselinou (**88** vs. **87**). Vysoké výtěžky rovněž poskytla 3-thienylboronová kyselina, nebo pinakolester 5-methyl-2-thienylboronové kyseliny. Nižší výtěžek (46 %) byl získán s použitím esteru 3-pyridylboronové kyseliny, což není překvapivé vzhledem k menší stabilitě pyridylboronových kyselin^{34, 35}.

U připravených produktů **81-85** Suzuki-Miyaurovou reakcí byl ve všech

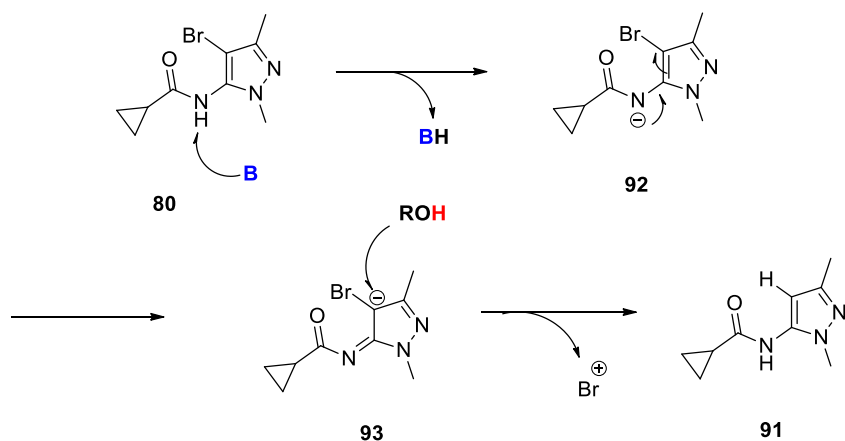
případech pozorován také vznik vedlejšího dehalogenovaného pyrazolu **91**. V závislosti na použité boronové kyselině vznikal pyrazol **91** v množství od 2 do 13 % (podle HPLC analýzy). Největší zastoupení měl dehalogenovaný pyrazol **91** při reakci s esterem pyridylboronové kyseliny, kdy docházelo zároveň i k oxidativnímu homocouplingu, tedy ke vzniku bipyridylu **92**, a dále k protodeborylaci za vzniku pyridinu. Struktury vedlejších produktů jsou uvedeny na obrázku 10.



Obrázek 10: Dehalogenovaný pyrazol **91** a vedlejší produkty vzniklé couplingem esteru 3-pyridylboronové kyseliny.

Na základě našich předchozích pozorování, můžeme vznik **91** vysvětlit následujícím schématem 19. Deprotonací pyrazolu **80**, vznikne anion **92**, jehož rezonanční struktura **93** je schopna přijmout proton z rozpouštědla (EtOH nebo H₂O). Odstoupením Br⁺ z intermediátu **93** vznikne anion, který po protonizaci poskytne debromovaný produkt **91**.

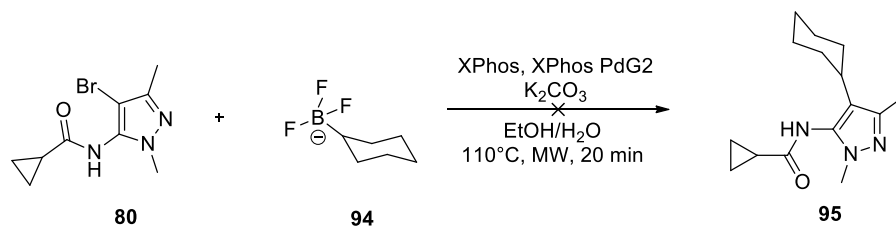
Schéma 19: Vznik dehalogenovaného pyrazolu.



Dále byla zkoumána Suzuki-Miyaurova reakce s C(sp³) hybridizovanou organoboronovou sloučeninou **94**. Pro demonstraci byl vybrán jako reprezentant cyklohexyltrifluorborát draselný v molárním poměru 2:1 ku výchozímu aminopyrazolu

80.

Schéma 20: *Reakce s C(sp³) hybridizovanou organoboronovou sloučeninou.*

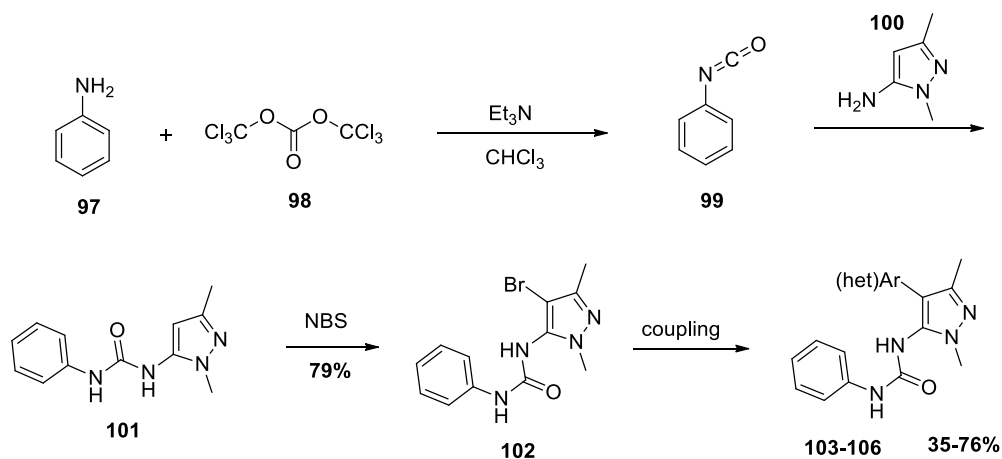


Veškeré reakční podmínky zůstaly zachovány. Paralelně byla rovněž nasazena i další reakce, a to sice s pěti ekvivalenty báze oproti původním dvěma. Obě reakce byly neúspěšné, v reakční směsi zůstalo velké množství výchozí látky a vznikal ve značné míře dehalogenovaný pyrazol **91**.

3.1.2 Příprava aminopyrazolů modifikovaných v poloze C5 fenylmočovinou

Po sérii úspěšně připravených a izolovaných látek **81** - **85** byla dalším cílem příprava aminopyrazolů modifikovaných v poloze 5 fenylmočovinou. Syntéza výchozí látky **96** je zobrazena ve schématu 21.

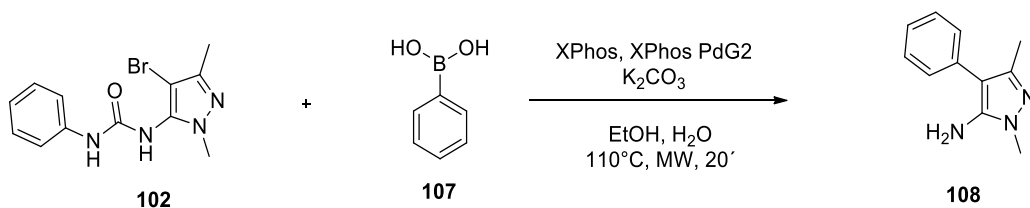
Schéma 21: *Celkové reakční schéma pro přípravu aminopyrazolů 96.*



Prvním krokem strategie byla příprava fenylisokyanátu **99** reakcí anilinu s trifosgenem v chloroformu v přítomnosti triethylaminu. Surový materiál byl následně vakuově oddestilován a přečištěný fenylisokyanát **99** použit na reakci s pyrazolem **100**. Vzniklá močovina **101** byla bromována *N*-bromosukcinimidem, čímž byl vytvořen výchozí materiál **102** ve výtěžku 70 %, který byl použit pro následné cross-coupling reakce.

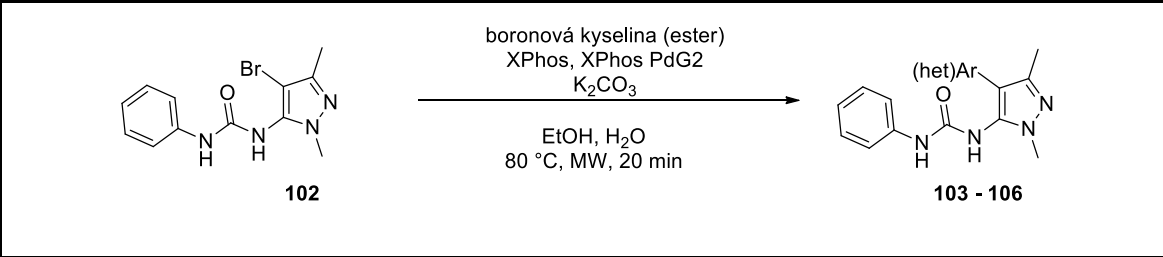
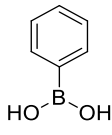
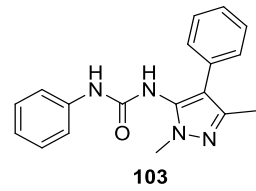
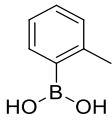
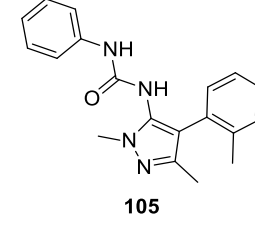
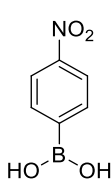
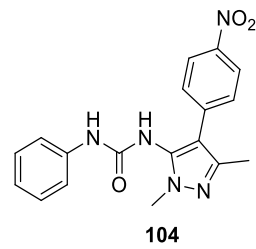
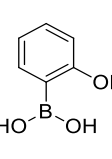
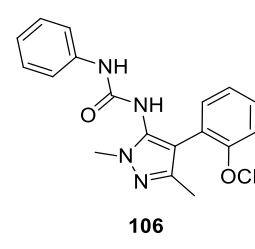
První reakce močoviny **102** byla uskutečněna za stávajících podmínek - katalýza XPhos a XPhos Pd G2 při teplotě 110 °C v mikrovlnném reaktoru s použitím fenyloboronové kyseliny **107**. Ukázalo se, že při těchto podmínkách cross-coupling sice probíhá, ale dochází k rozpadu močoviny a primárně tedy vzniká aminopyrazol **108** (schéma 22).

Schéma 22: První coupling fenyльмоčovinového aminopyrazolu a fenyloboronové kyseliny.



Močoviny se ukázaly být labilní za daných reakčních podmínek, z tohoto důvodu byla snížena reakční teplota na 60 °C, což se záhy ukázalo jako správné řešení a výsledný produkt **103** byl získán ve výtěžku 77 %. Na základě tohoto poznatku byly realizovány reakce s boronovými kyselinami **109-112** při 60 °C, a to se substituenty se zápornými i kladnými elektronovými efekty. Tabulka 3 uvádí, z jakých boronových kyselin byly připraveny příslušné produkty **103-106**.

Tabulka 3: Použité boronové kyseliny a odpovídající produkty

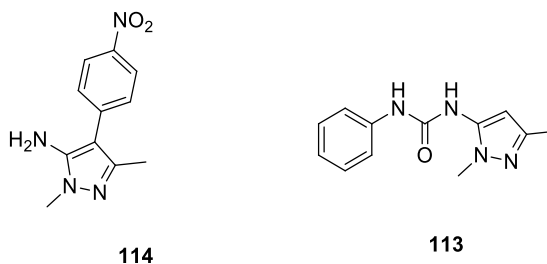
					
<i>Boronová kyselina</i>	<i>Produkt</i>	<i>Výtěžek</i>	<i>Boronová kyselina</i>	<i>Produkt</i>	<i>Výtěžek</i>
 109	 103	77 %	 111	 105	44 %
 110	 104	50 % *	 112	 106	76%

* reakce při 60 °C, reakční doba prodloužena na 40 minut

Kromě produktu **103**, byl získán i pyrazol **105** ve výtěžku 44 %, a to reakcí derivátu **102** s *o*-methylfenylboronovou kyselinou **111**, dále pak pyrazol **106** ve výtěžku 76 %, který byl připraven z *o*-methoxyfenylboronové kyseliny **112**. Obě boronové kyseliny jsou stericky bráněné přítomností substituentu v *ortho* poloze, avšak OMe skupina svým M+ efektem zvyšuje nukleofilitu boronové kyseliny, čímž zřejmě kompenzuje sterický vliv. Tímto lze vysvětlit vyšší výtěžek produktu **106** oproti pyrazolu **105** (76 vs. 44 %).

Naopak působil na boronovou kyselinu M- efekt nitroskupiny, a tak se ukázala *p*-nitroboronová kyselina poměrně málo reaktivní při teplotě 60 °C. Pokud byly aplikovány stávající reakční podmínky za teploty 60 °C, reakční směs nedoreagovala a mimo obvyklých produktů, tedy produktu couplingu **110** a debromovaného pyrazolu **113** (Obr. 11), byla rovněž podle HPLC přítomna z velké části i výchozí látka **102**. Zvýšením

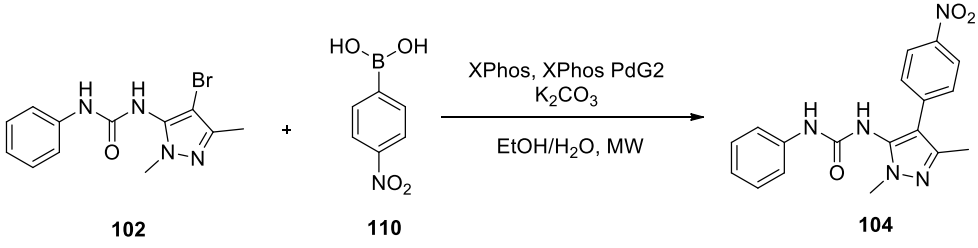
teploty na 80 °C sice směs obsahovala méně výchozí látky než při 60 °C, ale při 80 °C docházelo k štěpení močoviny, a tudíž se ve směsi objevila sloučenina **114** (Obr. 11).



Obrázek 11: *Vedlejší produkty couplingu s p-nitroboronovou kyselinou.*

Aby bylo docíleno úplné konverze výchozího aminopyrazolu, byly vyzkoušeny i dvě další reakce. První spočívala v dvojnásobné reakční době 40 minut v mikrovlnném reaktoru při 60 °C, zatímco druhá pouze ve zvýšení reakční teploty na 100 °C. První varianta s prodloužením reakční doby vykazovala téměř úplnou konverzi výchozí látky, ale zvýšilo se i zastoupení sloučeniny **114** bez karboxamidové funkce. Nicméně produkt **104** se podařilo izolovat v čisté formě ve výtěžku 50 %. Zvýšením teploty na 100 °C požadovaný produkt úplně hydrolyzoval rovněž za vzniku sloučeniny **114**. Průběh reakce v závislosti na teplotě je shrnut v tabulce 4.

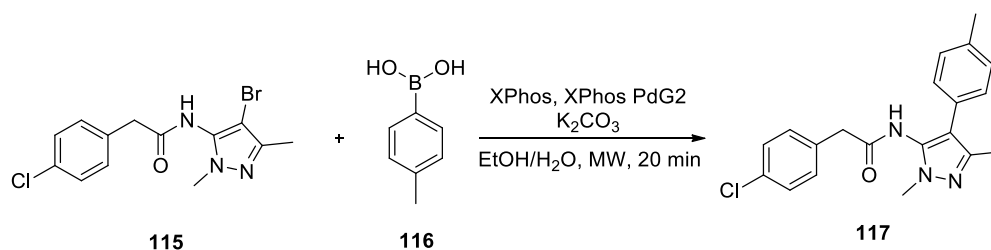
Tabulka 4: Různé reakční podmínky při Suzuki-Miyaura couplingu s *p*-nitroboronovou kyselinou.

					
Teplota (°C)	<i>t</i> (min)	Plocha podle HPLC-MS (%)			
		Výchozí látka 102	Produkt 104	<i>H</i> -Pyrazol 113	Sloučenina 114
60	20	47	39	14	-
80	20	19	56	12	12
60	40	10	57	11	22
100	20	4	-	12	53

3.1.3 Vliv dvou reakčních center pro Suzuki-Miyaurovu reakci

V rámci práce byla také zahrnuta i otázka, jaký vliv mohou mít dvě různé reaktivní centra na průběh couplingu. Jako modelové reaktanty pro tento výzkum byly zvoleny sloučenina **115** a kyselina *p*-tolylboronová (Schéma 23). Ideou přitom bylo provést selektivní cross-coupling v poloze 4 pyrazolu při současném zachování chloru na benzenovém jádře.

Schéma 23: Cross-coupling se dvěma reakčními centry.



Pro tuto reakci byla použita shodná báze i katalytický systém jako v předešlých experimentech. Coupling byl zkoušen při teplotách 30, 60 a 100 °C s jedním nebo dvěma ekvivalenty boronové kyseliny X. Reakční průběh byl sledován pomocí HPLC-MS. Výsledky jednotlivých reakcí jsou shrnuty v tabulce 5.

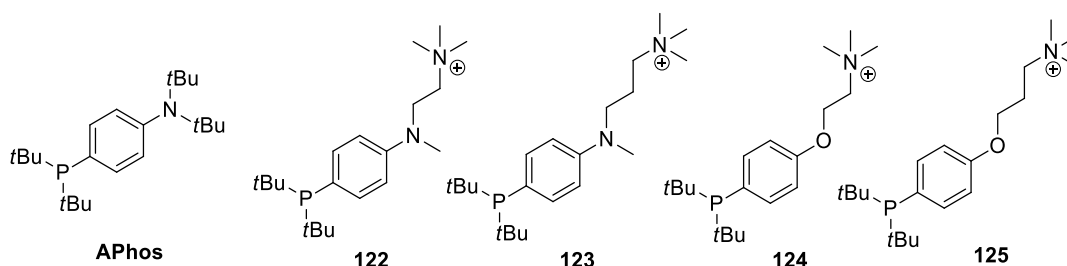
Tabulka 5: Tabulka s produkty Suzuki-Miyaura couplingu při různých teplotách.

Teplota (°C)	Ekv. boronové kyseliny	Procentuální zastoupení podle HPLC-MS (%)					
		115	117	118	120	121	119
30	2	>99	-	-	-	-	-
60	2	-	45	12	34	5	4
60	1	-	48	7	30	3	2
100	2	-	44	9	36	5	4

Byl potvrzen předpoklad, že uhlík 4 v molekule pyrazolu, kde je vázán brom byl mírně reaktivnější pro Suzuki-Miyaurovu reakci oproti chloru na benzenovém jádře. S výjimkou toho, že reakce při 30 °C neproběhla, nebyla nalezena žádná jiná výrazná souvislost průběhu konverze s teplotou a ani úprava množství boronové kyseliny nevykázala téměř žádný výrazný posun ke vzniku samotného produktu **117**. Typicky byl produkt **117** detekován v množství 44 – 48 %, debromovaný derivát **118** (7 – 12 %), diarylovaný derivát **120** (30 – 36 %), dále byly přítomny podle LCMS látky **119** a **121** v množství ~ 5 %, avšak tyto látky nebyly izolovány a vzhledem k tomu, že mají shodnou hodnotu $[M + H]^+$, jejich struktury jsou jen orientačně přiřazeny.

3.2 Vývoj hydrofilních ligandů pro Suzuki-Miyaurova reakce

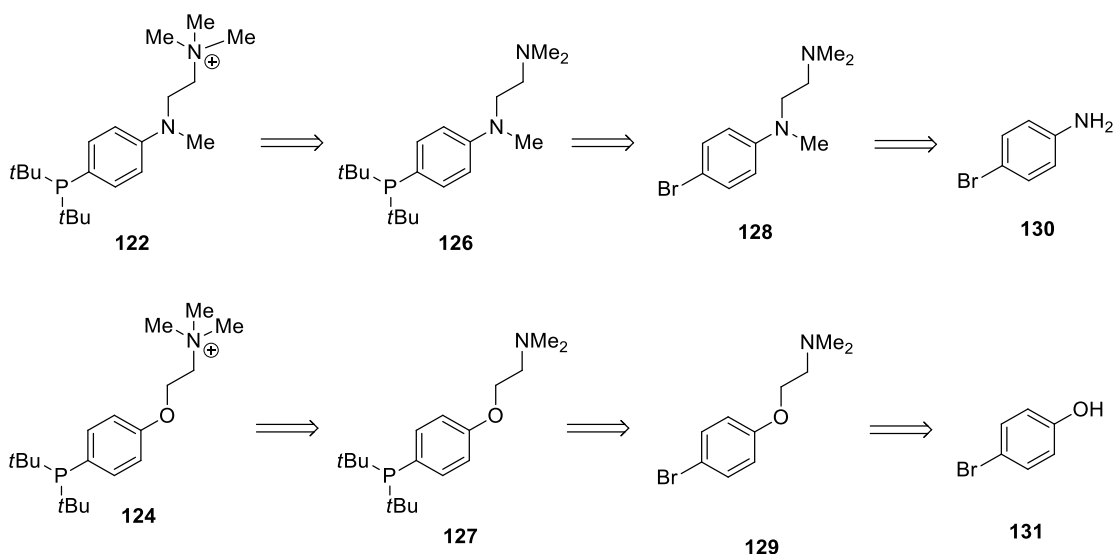
Na základě poznatků z literatury byla navržena série ligandů pro katalýzu Suzuki-Miyaurovy reakce. Struktury navržených ligandů jsou odvozeny od APhosu a liší se v tom, že substituent s +M efektem (NMe nebo O) nese dvou až tří uhlíkatý řetězec zakončený kvarterní amoniovou solí (obrázek 12), která má zvýšit rozpustnost ligandu ve vodě a teoreticky by mohla pomoci ke snadnějšímu odstranění komplexu ligandu s palladiem.



Obrázek 12: *Struktura APhos a navržené ligandy.*

Retrosyntetická cesta vedoucí k ligandům **122-125** je zobrazena ve schématu 24. Ligandy **123** a **125** s delším uhlíkatým řetězcem měly být získány analogicky s použitím alkylačního činidla prodlouženého o jeden uhlík. Syntéza byla navržena tak, aby ke kvarternizaci NMe₂ došlo v posledním kroku celé sekvence. Zavedení fosforu do struktur **122-125** bylo plánováno pomocí palladiem katalyzované reakce s *t*-Bu₂PH³⁶. Amin **126** by měl být dostupný postupným zavedením Me a CH₂CH₂NMe₂ do molekuly *p*-bromanilinu. Obdobně ether **127** by měl být snadno dostupný alkylací *p*-bromfenolu **131**. Problematictější se ukázala syntéza aminů **128** a **142** a v době sepsání diplomové práce nebyla jejich syntéza vyřešena.

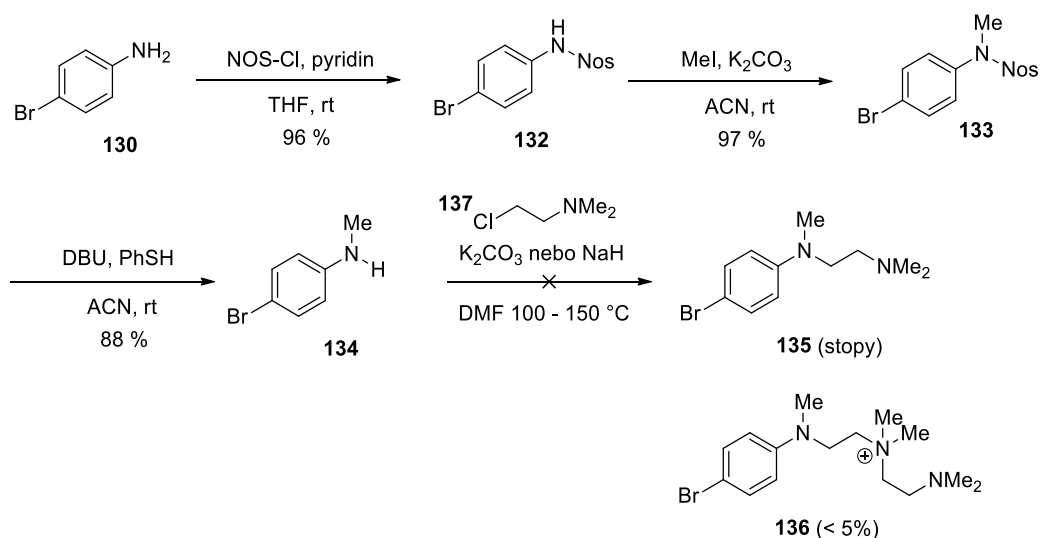
Schéma 24: Retrosyntéza vedoucí k ligandům.



3.2.1 Syntéza ligandů s dusíkatým centrem - 122, 123

Literatura popisuje přípravu monomethylovaného anilinu **134** ze sulfonamidu **132**, který je dostupný reakcí NOS-Cl s aminem **130** (schéma 25). Methylace sulfonamidu **132** MeI v přítomnosti K_2CO_3 vedla k izolaci sulfonamidu **133** ve vysokém výtěžku 97 %. Deprotekce NOS skupiny pomocí thiofenolu a DBU vedla k monomethylovanému anilinu **134** ve výtěžku 88 %. Naneštěstí se ukázalo, že alkylace **134** pomocí **137** je velice obtížná, zřejmě díky nízké nukleofilitě aromatického aminu. Zvyšování reakční teploty vedlo jen ke vzniku kvarterní soli **136** (< 5 % podle HPLC) a stopovému množství produktu **135**, přitom majoritní látkou v reakční směsi (> 90 % podle HPLC) zůstávala výchozí sloučenina **134**. Zřejmě při vyšší teplotě dochází ke kvarternizaci alkylačního činidla spíše než k reakci s anilinem.

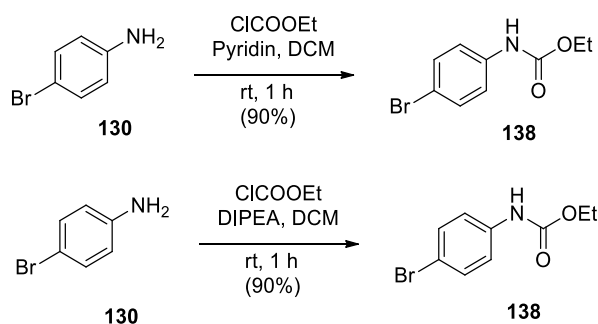
Schéma 25: Návrh prvních syntetických kroků vedoucí k ligandům **122**, **123**.



Vzhledem k tomu, že se nepodařilo připravit amin **135** podle schématu 25, byla vyzkoušena alternativní syntetická cesta (schéma 26). Myšlenkou bylo zvýšit nukleofilitu anilinu převedením na karbamát **138**, který po deprotonaci silnou bází v aprotickém rozpouštědle poskytne anion, jenž by měl být snadněji alkylován než volný amin.

Reakcí mírného nadbytku chlormravenčanu s *p*-bromanilinem za přítomnosti pyridinu byl připraven karbamát **138** ve výtěžku 90 %. Paralelně byla provedena reakce za stejných reakčních podmínek, jen s použitím diisopropylethylaminu (DIPEA) místo pyridinu, rovněž s výtěžkem 90 %. Vzniklý karbamát **138** mohl být použit pro následné *N*-alkylace, které byly provedeny s alkylačními činidly **137** nebo **139**.

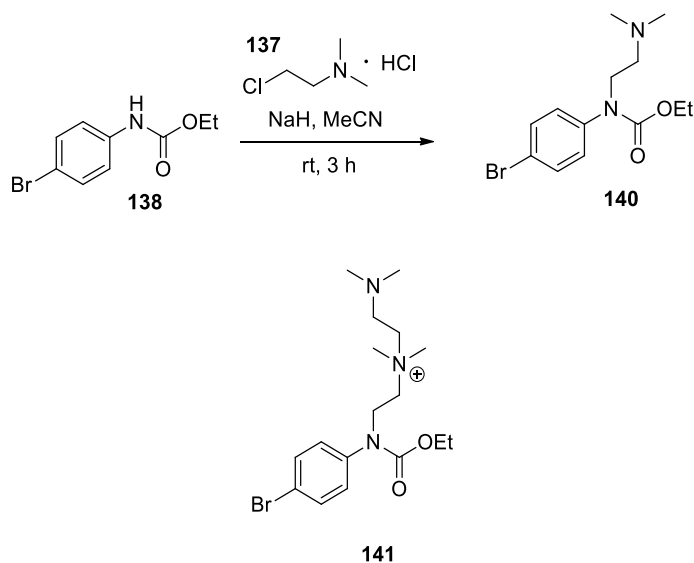
Schéma 26: Reakce *p*-bromanilinu s chlorformiátem ethylnatým.



Ne zcela triviální se ukázala být reakce karbamátu **138** s halogenidem **137**. Za laboratorní teploty v přítomnosti NaH v THF byla reakce velmi pomalá a jen minimum produktu **140** bylo pozorováno podle HPLC. Zahřátím reakční směsi k varu THF vznikla

směs výchozí látky **138** a produktu **140** v poměru zhruba jedna ku jedné. Při zvýšené teplotě navíc docházelo ke kvarternizaci a vzniku amoniové soli **141**. Reakce byla s podobnými neuspokojivými výsledky zkoušena v DMF (NaH nebo K₂CO₃, laboratorní teplota nebo 50 °C) a v dioxanu (NaH, laboratorní teplota nebo reflux). Nakonec se přišlo na to, že alkylace probíhá velice dobře v prostředí MeCN nebo DMSO.

Schéma 27: *N*-alkylace.

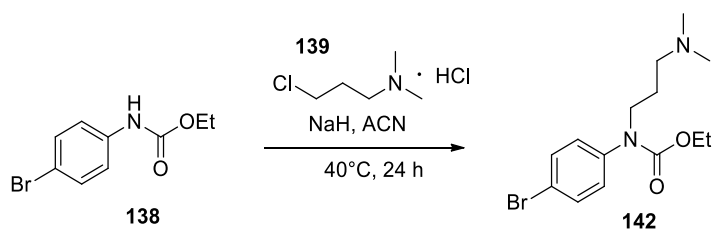


Obrázek 13: *Nežádoucí produkt 141 s kvarternizovaným dusíkem.*

Proto byly tedy použity podmínky pro alkylation v MeCN s použitím 3 ekvivalentů NaH a 1,5 ekvivalenty halogenidu **137**. Požadovaný produkt **140** byl přečištěn chromatograficky a získán ve výtěžku 64 %.

Jelikož cílem práce byla také příprava analogu **123**, byla realizována alkylation karbamátu **138** pomocí činidla **139**. Použity byly stejné reakční podmínky (NaH v MeCN), avšak alkylation pomocí halogenidu **139** za laboratorní teploty probíhala velmi pomalu, produkt vznikal pouze z ~ 30 % a ve směsi byla stále výchozí látka. Proto byla reakce zahřívána na 40 °C po dobu 24 hodin. Reakce byla úspěšná a konverze proběhla úplně. Produkt byl izolován s výtěžkem 57 %. Nižší výtěžek je přisuzován ztrátám během extrakce a chromatografické separace.

Schéma 28: Alkylace 2-chlorpropyl-*N,N*-dimethylaminem **139**.



Dalším syntetickým krokem byla redukce NCO₂Et na NMe. Redukce byla nejprve zkoušena s karbamátem **140** pomocí LiAlH₄ v aprotických rozpouštědlech zahrnujících THF, Et₂O, toluen a dichlormethan. Nicméně produkt **143** v reakční směsi obsažen nebyl, detekována byla pouze výchozí látka **140** a *N*-demetylovaný amin **144**. Vzhledem k tomu, že karbamát **140** je poměrně hydrolyticky stálý, např. jej nelze hydrolyzovat hydroxidem draselným za laboratorní teploty, pravděpodobně vzniká **144** v protickém prostředí během HPLC analýzy z možného meziprojektu redukce, např. **145** (schéma 30).

Schéma 29: Redukce karbamátu.

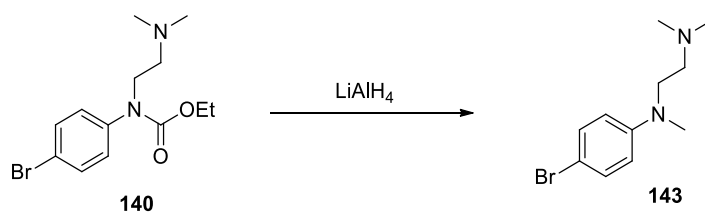
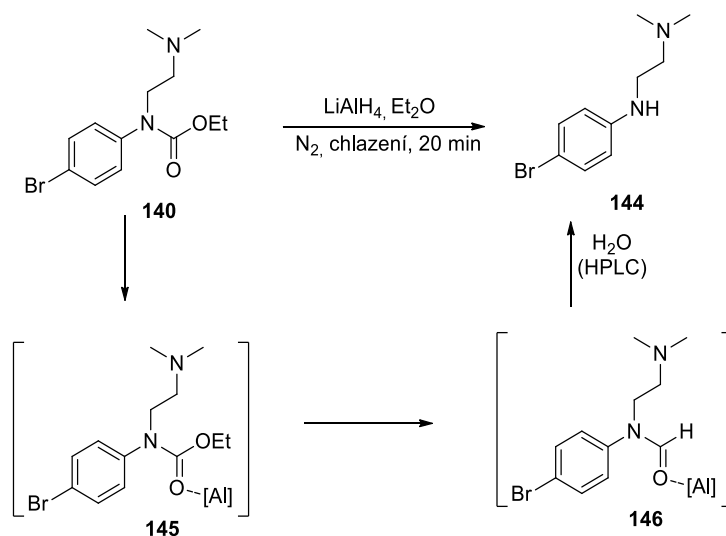
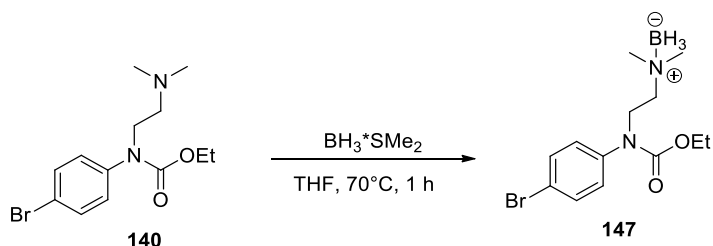


Schéma 30: Nežádoucí produkt redukce karbamátu.



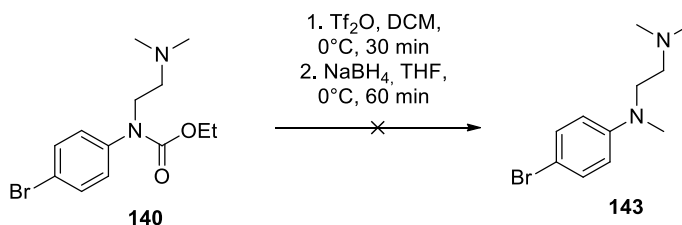
Další úvahou byla i změna redukčního činidla. Byl tedy použit $\text{BH}_3 \cdot \text{SMe}_2$ v suchém THF, nicméně k redukci nedocházelo vůbec, v LC-MS byla detekována pouze výchozí látka **140** a komplex výchozí látky s boranem **147**. Když se směs zahřála na 70 °C, došlo k disociaci komplexu a ve spektru byl zřetelný pouze pík připadající výchozímu karbamátu **140**.

Schéma 31: *Reakce karbamátu s $\text{BH}_3 \cdot \text{SMe}_2$.*

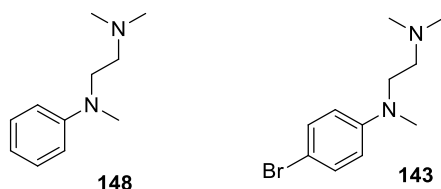


V literatuře³⁷ byl také nalezen postup, který využíval aktivaci esteru Tf_2O a následně redukci NaBH_4 (schéma 32). Nicméně tento protokol vedl jen ke vzniku množství nečistot (komplexní směs látek) a produkt pozorován nebyl.

Schéma 32: *Redukce karbamátu inspirovaná čínskými autory.*



V této fázi bylo rozhodnuto vrátit se k LiAlH_4 a zkusit redukci s ním za zvýšené teploty. Byly vyzkoušeny redukce karbamátu **140** ve vroucím Et_2O , THF a dioxanu. Největší zastoupení žádaného aminu **143** bylo detekováno v dioxanu a to již po 15 minutách reakce. Výchozí látka detekována nebyla přímo, pouze její vedlejší produkt – sekundární amin **144**. Zároveň byl ve všech reakcích obsažen vedlejší produkt **148**, který vznikl redukcí bromu (obrázek 14). Reakční podmínky a konverze podle HPLC jsou shrnuty v tabulce 6.



Obrázek 14: *Struktury dehalogenovaného vedlejšího a požadovaného produktu.*

Tabulka 6: *Reakční podmínky a údaje o konverzi podle HPLC.*

<i>Redukční činidlo</i>	<i>Rozpouštědlo</i>	<i>Teplota</i>	<i>Procentuální zastoupení podle HPLC-MS (%)</i>			
			<i>Výchozí látka 140</i>			
LiAlH ₄	Ether	0 °C		85	15	
LiAlH ₄	THF	0 °C		80	15	5
LiAlH ₄	toluen	0 °C	90	10		
LiAlH ₄	DCM	0 °C	>99			
BH ₃ *SMe ₂	THF	RT, 70 °C	>99			
LiAlH ₄	Ether	reflux		40	2	48
LiAlH ₄	THF	reflux		45	10	45
LiAlH ₄	dioxan	reflux		3	27	70

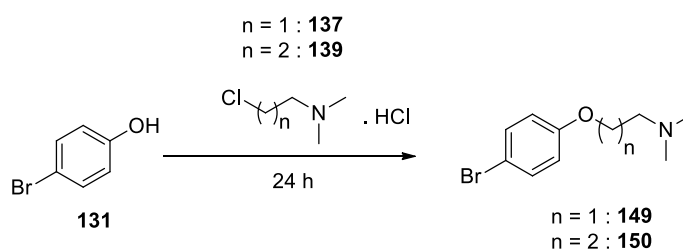
Na základě tohoto poznatku byla vyzkoušena redukce většího množství karbamátu **140** ve vroucím. Došlo k úplné konverzi výchozí látky a to ze 70 % na produkt **143** a z 27 % na nečistotu **148**. Při separaci na chromatografické koloně však nedošlo k

úplné separaci dehalogenovaného produktu **148** od žádaného produktu **143** a ve směsi byl dehalogenovaný produkt zastoupen asi z 15 %.

3.2.2 Syntéza kyslíkatých ligandů **124**, **125**

Narozdíl od **122** a **123**, které nesly na dusíku navíc navázaný methyl, odpadla reakční sekvence zahrnující redukcí, případně methylovaní. Prvním krokem byla tedy rovněž alkylace tentokrát kyslíkatého centra na bromfenolu, kterou obecně ilustruje schéma 33.

Schéma 33: *O*-Alkylace bromfenolu.



Alkylace byly nejprve prováděny pouze s 2-chlorethyl-*N,N*-dimethylaminem **137** a po optimalizaci reakce byly na základě získaných poznatků aplikovány nejlepší reakční podmínky také na variantu s 2-chlorpropyl-*N,N*-dimethylaminem **139**.

Reakční podmínky spočívaly v použití 4 ekvivalentů uhličitanu draselného jako báze a rozpouštědla THF za inertních podmínek. Varianta se neukázala jako příznivá, v HPLC chromatogramu byl po 48 hodinách průběhu viditelný pouze pík pro výchozí bromfenol. Proto byla směs zahřívána k varu a po 24 hodinách opět analyzována prostřednictvím HPLC-MS, nicméně nebyly viditelné žádné změny a stále byla přítomna pouze výchozí látka **131**.

Modifikace spočívaly v záměně použité báze uhličitanu draselného za silnější hydrid sodný a také hydroxid draselný (obojí 3 ekvivalenty). Reakce byla zkoušena za laboratorní teploty po dobu 24 hodin a alkylace neproběhla. Proto bylo dalším postupem vyzkoušet reakci s hydroxidem ve vroucím THF, ale reakce byla stále neúspěšná a ve spektru nebyl ani náznak vzniku produktu.

Další variantou bylo také aplikovat jiné rozpouštědlo. Reakce byla tedy uskutečněna v DMF s použitím K₂CO₃ a mírným nadbytkem (1.1 ekv.) alkylačního činidla. Při laboratorní teplotě ovšem reakce probíhala velmi pomalu, v řádu dní, a

konverze i přesto nebyla úplná. Z tohoto důvodu byla reakční teplota zvýšena na 60 °C. Zvýšení rychlosti reakce bylo patrné, avšak ve směsi stále zůstávala výchozí látka - bromfenol.

Při použití MeCN nejprve při laboratorní teplotě produkt vůbec nevznikal a proto byla směs zahřívána na 60 °C. Po 2 dnech analýza ukázala, že produkt vznikl asi jen ze 40 %. Proto byl tedy jako rozpouštědlo zvolen DMF.

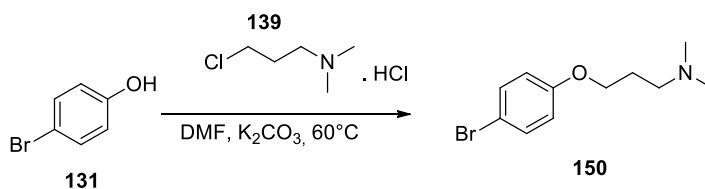
Jako báze byl také použit Cs₂CO₃ (2 ekv.) za výše zmíněných podmínek 60 °C v DMF a 1,1 ekv. alkylačního činidla. Podle HPLC byl zřejmý téměř analogický reakční průběh i konverze na produkt jako s použitím K₂CO₃.

Jelikož směs ani v jednom případě v nedoreagovala, bylo dalším návrhem zvýšení ekvivalentů alkylačního činidla **137**. Proto byly vyzkoušeny tyto podmínky: 2 ekvivalenty alkylačního činidla, K₂CO₃ v MeCN při 60 °C, přičemž opět směs nedoreagovala ani po 24 hodinách.

Použití DMF společně se 2 ekvivalenty alkylačního činidla **137**, 4 ekvivalenty K₂CO₃ a 60 °C znamenalo opět pouze vznik produktu ve velmi malé míře (22 %), zbytek směsi tvořil výchozí materiál. Proto bylo po 24 hodinách ještě navíc přidáno činidlo v množství 1 ekvivalentu a další 2 ekvivalenty báze. Možnost se ukázala jako nejpoužitelnější a produkt byl izolován s výtěžkem 62 %.

Tyto podmínky byly také zachovány při reakci s aminem s o methylen delším řetězcem (viz schéma 34). Nejprve byla nasazena reakce se 2 ekvivalenty alkylačního činidla **139**, 4 ekvivalenty báze K₂CO₃ za 60 °C.

Schéma 34: *O*-Alkylace.



Zatímco v případě kratšího řetězce nedocházelo k úplnému odreagování vstupních látek, v tomto případě došlo k úplné konverzi na produkt a nebylo již nutné přidávat alkylační činidlo. Produkt **150** byl izolován ve výtěžku 52 %. Nižší výtěžek je dán

ztrátami při izolaci a purifikace, jinak reakce podle HPLC probíhala relativně čistě.

4 Závěr

V rámci první části této diplomové práce bylo připraveno a izolováno celkem 9 finálních produktů Suzuki-Miyaura couplingu s různými typy boronových kyselin. Pět z těchto látek byly modifikovány v poloze C5 cyklopropylkarboxamidovou skupinou a připraveno ve výtěžcích 46 - 87 %. Nižší výtěžek byl pozorován při použití 3-pyridylboronové kyseliny, což lze přisuzovat nižší stabilitě pyridylboronových kyselin. Zbýlé čtyři produkty, které byly připraveny ve výtěžcích 44 - 77 %, nesly v poloze C5 modifikaci v podobě fenylničoviny. Kvůli nedostatečné termické stabilitě těchto derivátů docházelo při původních vyšších reakčních teplotách k hydrolyze močoviny, proto tedy bylo přistoupeno ke snížení reakční teploty na 60 °C, čímž byl rozpad produktu potlačen. Produkty byly separovány sloupcovou chromatografií a struktury byly potvrzeny analytickými technikami NMR a HRMS. Tento výzkum byl uzavřen a ucelen do komplexního systému témat a byl publikován v *Journal of Organic Chemistry*.

Další část práce byla věnována vývoji hydrofilních ligandů, které by mohly být použity při Suzuki-Miyaurových reakcích. Design ligandů vycházel ze struktur již známých a používaných ligandů jako například APhos. Hydrofilita měla být zajištěna zavedením kvartérního dusíku, čímž by byla zvýšena polarita molekuly. Cílem bylo připravit 4 ligandy, 2 kyslíkaté a 2 dusíkaté, a aplikovat je na základní substráty couplingové reakce. Bohužel tento výzkum nebyl z časových důvodů zcela dokončen a je stále otevřen pro další rozvoj.

5 Experimentální část

Dimethyl-4-(*o*-tolyl)-1H-pyrazol-5-yl)cyklopropylkarboxamid (81).

Bylo naváženo 129 mg pyrazolu **80** (0,5 mmol), 136 mg kyseliny *o*-tolylboronové **86** (1 mmol), 140 mg K₂CO₃ (1 mmol), 5 mg XPhos (0,01 mmol), přidány 3 ml degasovaného ethanolu a 1 ml degasované vody. Směs byla podrobena proudu dusíku a následně bylo přidáno 8 mg XPhos PdG2 (0,01 mmol). Bylo uloženo do mikrovlnného reaktoru po dobu 20 minut při teplotě 110°C. Separováno chromatograficky - kolona 10 x 2,5 cm SiO₂, mobilní fáze CHCl₃ : MeOH - gradient 200 ml : 0 ml, 200 ml : 1 ml, 200 ml : 2 ml. Frakce odpařeny dosucha na vakuové odparce. Produkt - bílá krystalická látka (117 mg, 87 %), bod tání 148 - 150 °C.

¹H NMR (400 MHz, DMSO-d₆) hlavní konformer δ (ppm) = 9.79 (s, 1H), 7.26 (td, J = 7.3, 1.6 Hz, 1H), 7.21 (dd, J = 7.3, 1.6 Hz, 1H), 7.19 (td, J = 7.3, 1.6 Hz, 1H), 7.03 (dd, J = 7.3, 1.6 Hz, 1H), 3.53 (s, 3H), 2.07 (s, 3H), 1.94 (s, 3H), 1.73–1.66 (m, 1H), 0.77–0.70 (m, 4H); minoritní konformer δ = 9.26 (s, NH), 3.67 (s, CH₃), 2.10 (s, CH₃), 1.98 (s, CH₃); ¹³C NMR (100 MHz, DMSO-d₆) δ (ppm) = 173.2, 143.7, 137.0, 133.8, 131.8, 130.9, 129.9, 127.3, 125.6, 114.0, 35.3, 19.6, 13.5, 12.6, 7.3; HRMS (ESI) C₁₆H₁₉N₃O [M + H]⁺ 270.1601, nalezeno 270.1604.

N-(1,3-Dimethyl-4-(4-(trifluoromethyl)fenyl)-1H-pyrazol-5-yl)cyklopropylkarboxamid (82).

Bylo naváženo 129 mg pyrazolu **80** (0,5 mmol), 190 mg kyseliny *p*-trifluormethylboronové **87** (1 mmol), 140 mg K₂CO₃ (1 mmol), 5 mg XPhos (0,01 mmol), přidány 3 ml degasovaného ethanolu a 1 ml degasované vody. Směs byla podrobena proudu dusíku a následně bylo přidáno 8 mg XPhos PdG2 (0,01 mmol). Bylo uloženo do mikrovlnného reaktoru po dobu 20 minut při teplotě 110°C. Separováno chromatograficky - kolona 12 x 2,5 cm SiO₂, mobilní fáze CH₂Cl₂ : MeOH - gradient 200 ml : 0 ml, 200 ml : 2 ml, 200 ml : 4 ml. Frakce odpařeny dosucha na vakuové odparce. Produkt - bílá krystalická látka (140 mg, 87 %), bod tání 190 - 194 °C.

¹H NMR (400 MHz, DMSO-d₆) δ (ppm) = 10.04 (s, 1H), 7.72 (d, J = 8.2 Hz, 2H), 7.47 (d, J = 8.2 Hz, 2H), 3.51 (s, 3H), 2.18 (s, 3H), 1.74 (tt, J = 7.2, 5.2 Hz, 1H), 0.81–0.74 (m, 4H); ¹³C NMR (100 MHz, DMSO-d₆) δ (ppm) = 144.2, 137.6, 135.2, 134.3, 129.1, 127.0 (q, J = 32 Hz), 125.9 (q, J = 4 Hz), 124.9 (q, J = 272 Hz), 113.6, 35.6, 14.1, 13.7,

7.8; HRMS (ESI) C₁₆H₁₆F₃N₃O [M + H]⁺ 324.1318, nalezeno 324.1317.

N-(1,3-Dimethyl-4-(5-methylthiofen-2-yl)-1H-pyrazol-5-yl)cyclopropylkarboxamid (83).

Bylo naváženo 181 mg pyrazolu **80** (0,7 mmol), přidáno 478 µl pinakolesteru kyseliny 5-methylthiofenboronové **88** (1,4 mmol), 193 mg K₂CO₃ (1,4 mmol), 7 mg XPhos (0,014 mmol), přidány 3 ml degasovaného ethanolu a 1 ml degasované vody. Směs byla podrobena proudu dusíku a následně bylo přidáno 11 mg XPhos PdG2 (0,014 mmol). Bylo uloženo do mikrovlnného reaktoru po dobu 20 minut při teplotě 110°C. Separováno chromatograficky - kolona 12 x 2,5 cm SiO₂, mobilní fáze CH₂Cl₂ : MeOH - gradient 200 ml : 0 ml, 200 ml : 2 ml, 200 ml : 4 ml. Frakce odpařeny dosucha na vakuové odparce. Produkt - bílá krystalická látka (167 mg, 86 %), bod tání 111 - 113 °C.

¹H NMR (400 MHz, DMSO-d₆) δ (ppm) = 10.08 (s, 1H), 6.83 (d, J = 3.4 Hz, 1H), 6.76 (dd, J = 3.4, 0.9 Hz, 1H), 3.50 (s, 3H), 2.43 (d, J = 0.9 Hz, 3H), 2.24 (s, 3H), 1.86 (ddd, J = 9.6, 7.6, 5.3 Hz, 1H), 0.87–0.79 (m, 4H); ¹³C NMR (100 MHz, DMSO-d₆) δ (ppm) = 173.4, 142.9, 137.2, 132.9, 131.7, 125.5, 123.7, 108.8, 35.1, 14.8, 13.8, 13.6, 7.2; HRMS (ESI) C₁₄H₁₇N₃OS [M + H]⁺ 276.1165, nalezeno 276.1170.

N-(1,3-Dimethyl-4-(thiofen-3-yl)-1H-pyrazol-5-yl)cyclopropylkarboxamid (84).

Bylo naváženo 129 mg pyrazolu **80** (0,5 mmol), přidáno 128 mg 3-thienylboronové **89** (1 mmol), 140 mg K₂CO₃ (1 mmol), 5 mg XPhos (0,01 mmol), přidány 3 ml degasovaného ethanolu a 1 ml degasované vody. Směs byla podrobena proudu dusíku a následně bylo přidáno 8 mg XPhos PdG2 (0,01 mmol). Bylo uloženo do mikrovlnného reaktoru po dobu 20 minut při teplotě 110°C. Separováno chromatograficky - kolona 12 x 2,5 cm SiO₂, mobilní fáze CH₂Cl₂ : MeOH - gradient 200 ml : 0 ml, 200 ml : 2 ml, 200 ml : 4 ml. Frakce odpařeny dosucha na vakuové odparce. Produkt - bílá krystalická látka (110 mg, 85 %), bod tání 171 - 173 °C.

¹H NMR (400 MHz, DMSO-d₆) δ (ppm) = 10.04 (s, 1H), 7.60 (dd, J = 4.9, 2.9 Hz, 1H), 7.37 (dd, J = 2.9, 1.2 Hz, 1H), 7.20 (dd, J = 4.9, 1.2 Hz, 1H), 3.52 (s, 3H), 2.24 (s, 3H), 1.82 (tt, J = 7.5, 5.1 Hz, 1H), 0.87–0.79 (m, 4H); ¹³C NMR (100 MHz, DMSO-d₆) δ (ppm) = 173.4, 143.3, 132.9, 132.7, 127.1, 125.9, 120.4, 109.9, 35.0, 13.6, 13.5, 7.3;

HRMS (ESI) C₁₃H₁₅N₃OS [M + H]⁺ 262.1009, nalezeno 262.1009.

N-(1,3-Dimethyl-4-(pyridin-3-yl)-1H-pyrazol-5-yl)cyklopropylkarboxamid (85).

Bylo naváženo 258 mg pyrazolu **80** (1 mmol), přidáno 382 mg neopentylglykolesteru 3-pyridinboronové kyseliny **90** (2 mmol), 280 mg K₂CO₃ (2 mmol), 10 mg XPhos (0,02 mmol), přidáno 6 ml degasovaného ethanolu a 2 ml degasované vody. Směs byla podrobena proudu dusíku a následně bylo přidáno 16 mg XPhos PdG2 (0,02 mmol). Bylo uloženo do mikrovlnného reaktoru po dobu 20 minut při teplotě 110°C. Separováno chromatograficky - kolona 12 x 2,5 cm SiO₂, mobilní fáze CH₂Cl₂ : MeOH - gradient 400 ml : 0 ml, 400 ml : 2 ml, 400 ml : 4 ml. Frakce odpařeny dosucha na vakuové odparce. Produkt - bílá krystalická látka (117 mg, 46 %), bod tání 166 - 168 °C.

¹H NMR (400 MHz, DMSO-d₆) δ (ppm) = 10.07 (s, 1H), 8.51 (d, J = 1.6 Hz, 1H), 8.46 (dd, J = 4.8, 1.6 Hz, 1H), 7.68 (ddd, J = 7.9, 2.2, 1.6 Hz, 1H), 7.43 (ddd, J = 7.9, 4.8, 0.8 Hz, 1H), 3.55 (s, 3H), 2.21 (s, 3H), 1.78 (tt, J = 7.7, 4.8 Hz, 1H), 0.85–0.78 (m, 4H); ¹³C NMR (100 MHz, DMSO-d₆) δ (ppm) = 173.6, 148.7, 147.2, 143.7, 135.2, 133.7, 128.6, 123.6, 111.2, 35.1, 13.6, 13.0, 7.3; HRMS (ESI) C₁₄H₁₆N₄O [M + H]⁺ 257.1397, nalezeno 257.1398.

1-(4-brom-1,3-dimethyl-1H-pyrazol-5-yl)-3-fenylmočovina (102)

Bylo odpipetováno 30 ml bezvodého THF, přidáno 550 µl (5,5 mmol) fenylisokyanátu a 555 mg 1,3-dimethyl-5-aminopyrazolu a za přívodu dusíku ponecháno při refluxu 3 hodiny. Následně byla reakční směs ochlazena a bylo přidáno 890 mg *N*-bromsukcinimidu (5 mmol). Po 1 hodině naředěno vodou (20 ml) a extrahováno do ethylacetátu (2 x 20 ml). Poté promyto v dělicí nálevce roztokem NH₄Cl (15 ml), solankou (15 ml), vysušeno pevným Na₂SO₄, zfiltrováno a odpařeno dosucha. Rekrystalizováno ve směsi MeOH-H₂O. Získáno 1,008 g bílé krystalické látky (70 %), bod tání 278 - 290 °C.

¹H NMR (400 MHz, DMSO-d₆) δ (ppm) = 8.99 (s, 1H), 8.22 (s, 1H), 7.45 (dt, J = 7.8, 1.04 Hz, 2H), 7.28 (tt, J = 7.79, 1.04 Hz, 2H), 6.98 (tt, J = 7.3, 1.04 Hz, 1H), 3.62 (s, 3H), 2.11 (s, 3H); ¹³C NMR (100 MHz, CDCl₃-d) δ (ppm) = 152.50, 143.84, 139.34, 135.11, 128.72, 122.18, 118.40, 89.99, 36.06, 12.33; HRMS (ESI) C₁₆H₁₉N₃O [M + H]⁺

309.0346, nalezeno 309.0351.

1-(1,3-Dimethyl-4-fenyl-1H-pyrazol-5-yl)-3-fenylmočovina (103).

Bylo naváženo 154 mg pyrazolu **102** (0,5 mmol), přidáno 122 mg fenylboronové kyseliny **109** (1 mmol), 140 mg K₂CO₃ (1 mmol), 5 mg XPhos (0,01 mmol), přidány 3 ml degasovaného ethanolu a 1 ml degasované vody. Směs byla podrobena proudu dusíku a následně bylo přidáno 8 mg XPhos PdG2 (0,01 mmol). Bylo uloženo do mikrovlnného reaktoru po dobu 20 minut při teplotě 60°C. Separováno chromatograficky - kolona 12 x 2,5 cm SiO₂, mobilní fáze CH₂Cl₂ : MeOH - gradient 200 ml : 0 ml, 200 ml : 1 ml, 200 ml : 2 ml. Frakce odpařeny dosucha na vakuové odparce, rekrystalizováno ve směsi DCM : petrolether. Produkt - bílá krystalická látka (118 mg, 77 %), bod tání 194 - 198 °C.

¹H NMR (400 MHz, DMSO-d₆) δ (ppm) = 8.88 (s, 1H), 8.14 (s, 1H), 7.43 (dd, J = 8.7, 1.0 Hz, 2H), 7.38 (d, J = 7.4 Hz, 2H), 7.36–7.32 (m, 2H), 7.28–7.23 (m, 3H), 6.96 (td, J = 7.4, 1.1 Hz, 1H), 3.63 (s, 3H), 2.21 (s, 3H); ¹³C NMR (100 MHz, DMSO-d₆) δ (ppm) = 153.5, 143.2, 139.5, 133.5, 132.8, 128.7, 128.4, 128.3, 126.1, 122.0, 118.3, 114.8, 35.0, 13.2; HRMS (ESI) C₁₈H₁₈N₄O [M + H]⁺ 307.1553, nalezeno 307.1551.

1-(1,3-Dimethyl-4-(o-tolyl)-1H-pyrazol-5-yl)-3-fenylmočovina (105).

Bylo naváženo 154 mg pyrazolu **102** (0,5 mmol), přidáno 136 mg o-tolylboronové kyseliny **111** (1 mmol), 140 mg K₂CO₃ (1 mmol), 5 mg XPhos (0,01 mmol), přidány 3 ml degasovaného ethanolu a 1 ml degasované vody. Směs byla podrobena proudu dusíku a následně bylo přidáno 8 mg XPhos PdG2 (0,01 mmol). Bylo uloženo do mikrovlnného reaktoru po dobu 20 minut při teplotě 60°C. Separováno chromatograficky - kolona 12 x 2,5 cm SiO₂, mobilní fáze CH₂Cl₂ : MeOH - gradient 200 ml : 0 ml, 200 ml : 1 ml, 200 ml : 2 ml. Frakce odpařeny dosucha na vakuové odparce. Produkt - bílá krystalická látka (70 mg, 44 %), bod tání 206 - 210 °C.

¹H NMR (400 MHz, DMSO-d₆) δ (ppm) = 8.70 (s, 1H), 7.95 (s, 1H), 7.37 (dd, J = 8.6, 1.2 Hz, 2H), 7.27–7.16 (m, 5H), 7.10 (dd, J = 7.2, 1.6 Hz, 1H), 6.94 (tt, J = 7.4, 0.9 Hz, 1H), 3.64 (s, 3H), 2.11 (s, 3H), 1.96 (s, 3H); ¹³C NMR (100 MHz, DMSO-d₆) δ (ppm) = 153.1, 143.6, 139.4, 137.1, 133.8, 132.0, 130.9, 129.9, 128.7, 127.2, 125.5, 122.0, 118.2, 114.2, 35.3, 19.5, 12.6; HRMS (ESI) C₁₉H₂₀N₄O [M + H]⁺ 321.1710, nalezeno 321.1709.

1-(4-(2-Methoxyfenyl)-1,3-dimethyl-1H-pyrazol-5-yl)-3-fenylmočovina

(106).

Bylo naváženo 154 mg pyrazolu **102** (0,5 mmol), přidáno 152 mg o-metoxyfenylboronové kyseliny **112** (1 mmol), 140 mg K₂CO₃ (1 mmol), 5 mg XPhos (0,01 mmol), přidány 3 ml degasovaného ethanolu a 1 ml degasované vody. Směs byla podrobena proudu dusíku a následně bylo přidáno 8 mg XPhos PdG2 (0,01 mmol). Bylo uloženo do mikrovlnného reaktoru po dobu 20 minut při teplotě 60°C. Separováno chromatograficky - kolona 12 x 2,5 cm SiO₂, mobilní fáze CH₂Cl₂ : MeOH - gradient 200 ml : 0 ml, 200 ml : 1 ml, 200 ml : 2 ml. Frakce odpařeny dosucha na vakuové odparce. Produkt - bílá krystalická látka (123 mg, 76 %), bod tání 190 - 192 °C.

¹H NMR (400 MHz, DMSO-d₆) δ (ppm) = 8.91 (s, 1H), 7.75 (s, 1H), 7.40 (d, J = 7.5 Hz, 2H), 7.31–7.22 (m, 3H), 7.16 (dd, J = 7.5, 1.4 Hz, 1H), 7.05 (d, J = 7.8 Hz, 1H), 6.99–6.93 (m, 2H), 3.72 (s, 3H), 3.62 (s, 3H), 2.03 (s, 3H); ¹³C NMR (100 MHz, DMSO-d₆) δ (ppm) = 156.6, 153.3, 144.0, 139.5, 134.2, 131.1, 128.8, 128.3, 122.0, 121.1, 120.4, 118.2, 111.3, 110.7, 55.3, 35.4, 13.0; HRMS (ESI) C₁₉H₂₀N₄O₂ [M + H]⁺ 337.1659, nalezeno 337.1657.

**1-(1,3-Dimethyl-4-(4-nitrofenyl)-1H-pyrazol-5-yl)-3-fenylmočovina
(104).**

Bylo naváženo 154 mg pyrazolu **102** (0,5 mmol), přidáno 167 mg p-nitrofenylboronové kyseliny **110** (1 mmol), 140 mg K₂CO₃ (1 mmol), 5 mg XPhos (0,01 mmol), přidány 3 ml degasovaného ethanolu a 1 ml degasované vody. Směs byla podrobena proudu dusíku a následně bylo přidáno 8 mg XPhos PdG2 (0,01 mmol). Bylo uloženo do mikrovlnného reaktoru po dobu 20 minut při teplotě 60°C. Separováno chromatograficky - kolona 12 x 2,5 cm SiO₂, mobilní fáze CH₂Cl₂ : MeOH - gradient 200 ml : 0 ml, 200 ml : 1 ml, 200 ml : 2 ml. Frakce odpařeny dosucha na vakuové odparce. Produkt - žlutá krystalická látka (87 mg, 50 %), bod tání 321 - 323 °C.

¹H NMR (400 MHz, DMSO-d₆) δ (ppm) = 9.02 (s, 1H), 8.34 (s, 1H), 8.26 (d, J = 9.2 Hz, 2H), 7.63 (d, J = 9.2 Hz, 2H), 7.42 (d, J = 8.1 Hz, 2H), 7.25 (dd, J = 8.1, 7.6 Hz, 2H), 6.95 (t, J = 7.6 Hz, 1H), 3.66 (s, 3H), 2.27 (s, 3H); ¹³C NMR (100 MHz, DMSO-d₆) δ (ppm) = 153.7, 145.8, 144.4, 140.8, 139.9, 135.1, 129.2, 124.3, 122.7, 119.0, 113.7, 35.7, 14.0; HRMS (ESI) C₁₈H₁₇N₅O₃ [M + H]⁺ 352.1404, nalezeno 352.1403.

Příprava 2-(4-bromofenoxy)-N,N-dimethylethylaminu (149)

Do baňky bylo naváženo 1,73 g (10 mmol) bromfenolu, suspendováno ve 20 ml dimethylformamidu, přidáno 8,28 g uhličitanu draselného (60 mmol) a přisypáno 4,32 g 2-chloro-*N,N*-dimethylethylaminu hydrochloridu (30 mmol). Směs byla zahřívána na teplotu 60°C přes noc a další den analyzována pomocí HPLC-MS.

Produkt byl extrahován do diethyletheru (2x20 ml), zahuštěn na RVO. Do odparku bylo přidáno 10 ml toluenu a odpařeno dosucha (2x pro azeotropické odpaření DMF). Poté byla výsledná směs přečištěna chromatograficky (kolona 2,5 x 6,5 cm SiO₂, mobilní fáze: DCM: MeOH v poměru 200:4, 200:6, 200:8 gradient). Produkt - nažloutlá olejovitá kapalina (1,5 g, 62 %).

¹H NMR (400 MHz, CDCl₃-d) δ (ppm) = 7.38-7.34 (m, 2H), 6.82-6.78 (m, 2H), 4.03 (t, J = 5.7 Hz, 2H), 2.73 (t, J = 5.7 Hz, 2H), 2.34 (s, 6H); ¹³C NMR (100 MHz, CDCl₃-d) δ (ppm) = 157.88, 132.15, 116.30, 112.87, 66.09, 58.12, 45.82; HRMS (ESI) C₁₆H₁₉N₃O [M + H]⁺ 244.0332, nalezeno 244.0334.

Příprava 2-(4-bromofenoxy)-N,N-dimethylpropylaminu (150)

Do baňky bylo naváženo 1,73 g (10 mmol) bromfenolu, suspendováno ve 20 ml dimethylformamidu, přidáno 5,52 g uhličitanu draselného (40 mmol) a přisypáno 3,16 g 2-chloro-*N,N*-dimethylethylaminu hydrochloridu (20 mmol). Směs byla zahřívána na teplotu 60°C přes noc a další den analyzována pomocí HPLC-MS.

Produkt byl extrahován do diethyletheru (2x20 ml), zahuštěn na RVO. Do odparku bylo přidáno 10 ml toluenu a odpařeno dosucha (2x pro azeotropické odpaření DMF). Poté byla výsledná směs přečištěna chromatograficky (kolona 2,5 x 7 cm SiO₂, mobilní fáze: DCM: MeOH v poměru 200:2, 200:4, 200:6 gradient). Produkt - nažloutlá olejovitá kapalina (665 mg, 52 %).

¹H NMR (400 MHz, CDCl₃-d) δ (ppm) = 7.37-7.33 (m, 2H), 6.80-6.76 (m, 2H), 3.99 (t, J = 6.5 Hz, 2H), 2.44 (t, J = 7.3 Hz, 2H), 2.25 (s, 6H), 1.94 (p, J = 6.75 Hz, 2H); ¹³C NMR (100 MHz, CDCl₃-d) δ (ppm) = 158.05, 132.13, 116.23, 112.62, 66.36, 56.23, 45.44, 27.36; HRMS (ESI) C₁₆H₁₉N₃O [M + H]⁺ 258.0488, nalezeno 258.0492.

Příprava ethyl(4-bromofenyl)karbamátu (138)

K 750 mg bromanilinu (4,36 mmol) rozpuštěného v 5 ml suchého DCM byl přidán diisopropylethylamin (DIPEA, 5,23 mmol, 1,2 ekv.) a 500 μ l (5,23 mmol, 1,2 ekv.) ethylchlorformiátu za inertních podmínek. Po 1 hodině byla provedena analýza pomocí HPLC-MS. Produkt byl extrahován do chloroformu a rozpouštědlo odpařeno na vakuové odparce. Výtěžek 90%. Produkt - bílé jehličkovité krystaly (1,9 g, 90 %), bod tání 70 - 72 °C.

^1H NMR (400 MHz, DMSO- d_6) δ (ppm) = 9.78 (s, 1H), 7.46-7.41 (m, 4H), 4.13 (k, J = 7.3 Hz, 2H), 1.23 (t, J = 7.3 Hz, 2H); ^{13}C NMR (100 MHz, CDCl $_3$ -d) δ (ppm) = 153.46, 138.69, 131.52, 119.99, 113.83, 60.33, 14.47; HRMS (ESI) C $_{16}$ H $_{19}$ N $_3$ O [M + H] $^+$ 241.9822, nalezeno 241.9820.

Příprava ethyl(4-bromfenyl)(2-(dimethylamino)ethyl)karbamátu (140)

Bylo naváženo 1,22 g karbamátu **138** (5 mmol) a rozpuštěno ve 12 ml acetonitrilu za inertních podmínek, přisypáno 600 mg 60% suspenze NaH (15 mmol, 3 ekv.) a přidáno 1,08 g 2-chloro-N,N-dimethylethylaminu hydrochloridu (7,5 mmol, 1,5 ekv.) a za inertních podmínek ponecháno při laboratorní teplotě 24 hodin). Analýza další den na HPLC-MS.

Extrahováno do DCM, odpařeno a přečištěno na chromatografické koloně z SiO $_2$ (1,5 x 12,5 cm sloupec, mobilní fáze: DCM: MeOH v poměru 200:1, 200:2, 200:3 - gradient). Produkt - nažloutlá olejovitá kapalina (1,0 g, 64 %).

^1H NMR (400 MHz, DMSO- d_6) δ (ppm) = 7.57-7.53 (m, 2H), 7.26-7.22 (m, 2H), 4.04 (k, J = 7.3 Hz, 2H), 3.67 (t, J = 6.75 Hz, 2H), 2.28 (t, J = 6.75 Hz, 2H), 2.10 (s, 6H), 1.12 (t, J = 6.75 Hz, 3H); ^{13}C NMR (100 MHz, CDCl $_3$ -d) δ (ppm) = 154.43, 141.06, 131.70, 129.37, 118.88, 61.14, 56.75, 47.37, 45.23, 14.38; HRMS (ESI) C $_{16}$ H $_{19}$ N $_3$ O [M + H] $^+$ 315.0703, nalezeno 315.0705.

Příprava ethyl(4-bromofenyl)(3-(dimethylamino)propyl)karbamátu (142)

Byly naváženy 3 g karbamátu **138** (12,3 mmol) a rozpuštěny ve 30 ml ACN. Bylo přidáno 1,476 mg NaH (36,9 mmol, 3 ekv., 60% suspenze) a 2,923 g g 2-chloro-N,N-dimethylpropylaminu hydrochloridu (18,5 mmol, 1,5 ekv.). Zahříváno na 40°C 24 hodin. Analýza na HPLC-MS.

Extrahováno do DCM, rozpouštědlo odpařeno, přečištěno na koloně z SiO₂ (2,5 x 7,5 cm sloupec, mobilní fáze: DCM: MeOH v poměru 200:2, 200:4, 200:6 - gradient). Produkt - nažloutlá olejovitá kapalina (2,3 g, 57 %). HRMS (ESI) C₁₆H₁₉N₃O [M + H]⁺ 329.0859, nalezeno 329.0862.

-
- ¹ Miyaura, N.; Yamada, K.; Suzuki, A. A new stereospecific cross-coupling by the palladium-catalyzed reaction of 1-alkenylboranes with 1-alkenyl or 1-alkynyl halides. *Tetrahedr. Lett.* **1979**, *36*, 3437-3440.
- ² Maluenda, I.; Navarro, O. Recent development in the Suzuki-Miyaura reaction: 2010-2014. *Molecules* **2015**, *20*, 7528-7557.
- ³ Miyaura, N.; Yamada, K.; Suzuki, A. A new stereospecific cross-coupling by the palladium-catalyzed reaction of 1-alkenylboranes with 1-alkenyl or 1-alkynyl halides. *Tetrahedron Lett.* **1979**, *20*, 3437-3440.
- ⁴ Miyaura, N.; Suzuki, A. Palladium-Catalyzed Cross-Coupling Reactions of Organoboron Compounds. *Chem. Rev.* **1995**, *95*, 2457-2483.
- ⁵ Kotha, S., Lahiri, K., Kashinath, D. Recent applications of the Suzuki-Miyaura cross-coupling reaction in organic synthesis. *Tetrahedron* **2002**, *58*, 9633-9695.
- ⁶ Martin, A. R., Yang, Y. Palladium-catalyzed Cross-coupling reactions of Organoboronic Acids with Organic Electrophiles. *Acta Chemica Scandinavica* **1993**, *47*, 221-230.
- ⁷ Miyaura, N.; Suzuki, A. Palladium-catalyzed cross-coupling reactions of organoboron compounds. *Chem. Rev.* **1995**, *95*, 2457-2483.
- ⁸ Lloyd-Jones, G. C.; Lennox, A. J. J. Transmetalation in the Suzuki-Miyaura coupling: The Fork in the Trail. *Angew. Chem. Int. Ed.* **2013**, *52*, 7362-7370.
- ⁹ Maegawa, T. et al. Heterogeneous Pd/C-Catalyzed Ligand-Free, Room-Temperature Suzuki-Miyaura coupling reactions in Aqueous Media. *Chem. Eur. J.* **2007**, *13*, 5937-5943.
- ¹⁰ Oberli, M., A.; Buchwald, S., L. A General Method for Suzuki-Miyaura Coupling Reactions Using Lithium Triisopropyl Borates. *Org. Lett.* **2012**, *14*, 4606-4609.
- ¹¹ Scheuermann, G., M. Palladium Nanoparticles on Graphite Oxide and Its Functionalized Graphene Derivatives as Highly Active Catalysts for the Suzuki-Miyaura Coupling Reaction. *J. Am. Chem. Soc.* **2009**, *131*, 8262-8270.
- ¹² Zhang, P. Solution-Dispersible, Colloidal, Conjugated Porous Polymer Networks with Entrapped Palladium Nanocrystals for Heterogeneous Catalysis of the Suzuki-Miyaura Coupling Reaction. *Chem. Mater.* **2011**, *23*, 5243-5249.
- ¹³ Zhang, Y.; Riduan, N., S. Functional porous organic polymers for heterogeneous catalysis. *Chem. Soc. Rev.*, **2012**, *41*, 2083-2094.
- ¹⁴ Saughnessy, K. H. Hydrophilic Ligands and Their Application in Aqueous-Phase Metal-Catalyzed Reactions. *Chem. Rev.* **2009**, *109*, 643-710.
- ¹⁵ Polshettiwar, V. Suzuki-Miyaura Cross-Coupling Reactions in Aqueous Media: Green and Sustainable Syntheses of Biaryls. *Chem. Sus. Chem.* **2010**, *3*, 502 - 522.
- ¹⁶ Lipshutz, B., H. Room-Temperature Suzuki-Miyaura Couplings in Water Facilitated by Nonionic Amphiphiles. *Org. Lett.*, **2008**, *10*, 1333-1336.
- ¹⁷ Saughnessy, K. H. Hydrophilic Ligands and Their Application in Aqueous-Phase Metal-Catalyzed Reactions. *Chem. Rev.* **2009**, *109*, 643-710.
- ¹⁸ Larpent, C.; Patin, H.; Thilmont, N.; Valdor, J. F. A New Route to Water-Soluble Sulfonated Phosphines. *Synth. Commun.* **1991**, *21*, 495-503.
- ¹⁹ Casalnuovo, A. L.; Calabrese, J. C. Palladium-catalyzed alkylations in aqueous media. *J. Am. Chem. Soc.*, **1990**, *112*, 4324-4330.
- ²⁰ Anderson, K. W.; Buchwald, S. L. General Catalysts for the Suzuki-Miyaura and Sonogashira Coupling Reactions of Aryl Chlorides and for the Coupling of Challenging Substrate Combinations in Water. *Angew. Chem. Int. Ed.* **2005**, *44*, 6173 -6177.
- ²¹ Eymery, F.; Burattin, P.; Mathey, F. Water-Soluble Derivatives of Furylphosphanes. *Eur. J. Org. Chem.* **2000**, 2425-2431.
- ²² Hingst, M.; Tepper, M.; Stelzer, O. Nucleophilic Phosphorylation of Fluoroaromatic Compounds with

Carboxyl, Carboxymethyl, and Aminomethyl Functionalities 2 an Efficient Synthetic Route to Amphiphilic Arylphosphanes. *Eur. J. Inorg. Chem.* **1998**, 73-82.

²³ Hong, S., H.; Grubbs, R., H. Highly Active Water-Soluble Olefin Metathesis Catalyst. *J. Am. Chem. Soc.* **2006**, *128*, 3508-3509.

²⁴ Smith, R., T.; Ungar, K.; Sanderson, L., J.; Baird, M., C. Rhodium Complexes of the Water-Soluble Phosphine Ph₂PCH₂CH₂NMe⁺. Their Complexes with Hydride, Olefin, and Carbon Monoxide Ligands. Their Use as Olefin Hydrogenation and Hydroformylation Catalysts in Aqueous Solution and in Aqueous/Organic Solvent Two-Phase Systems and Adsorbed on a Cation-Exchange Resin. *Organometallics* **1983**, *2*, 1138-44.

²⁵ DeVasher, R., B.; Moore, L., R.; Saughnessy, K., H. Aqueous-Phase, Palladium-Catalyzed Cross-Coupling of Aryl Bromides under Mild Conditions, Using Water-Soluble, Sterically Demanding Alkylphosphines. *J. Org. Chem.* **2004**, *69*, 7919-7927.

²⁶ Saughnessy, K., H.; Booth, R., S. Sterically Demanding, Water-Soluble Alkylphosphines as Ligands for High Activity Suzuki Coupling of Aryl Bromides in Aqueous Solvents. *Org. Lett.* **2001**, *3*, 2757-2759.

²⁷ Machnitzki, P.; Tepper, M.; Wenz, K.; Stelzer, O. Pd catalyzed P-C coupling reactions: a novel synthetic route to cationic phosphines with para- and meta-guanidinium phenyl moieties. *Eur. J. Org. Chem.* **2006**, 1827-1835.

²⁸ Astruc, D.; Feng, L.; Aranzas, J., R. Nanoparticles as Recyclable Catalysts: The Frontier between Homogeneous and Heterogeneous Catalysis. *Angew. Chem. Int. Ed.* **2005**, *44*, 7852 - 7872.

²⁹ Kreiter, R. Design and synthesis of tris[bis(benzylammonium)aryl]phosphines with bulky meta-substituents. *Tetrahedron* **2003**, *59*, 3989-3997.

³⁰ Kolodziuk, R.; Penciu, A.; Tollabi, M.; Framery, E.; Goux-Henry, C.; Iourtchenko, A.; Sinou, D. Palladium-catalyzed Suzuki cross-coupling of aryl halides with aryl boronic acids in the presence of glucosamine-based phosphines. *Journal of Organometallic Chemistry* **2003**, *687*, 384-391.

³¹ Cornils, B. Industrial Aqueous Biphasic Catalysis: Status and Directions. *Organic Process Research & Development* **1998**, *2*, 121-127.

³² Zátoková, R. Cross-coupling halogenovaných aminopyrazolů s aryl-, heteroaryl- a styrylboronovými kyselinami (Suzuki Miyauraova reakce). Bakalářská práce, Univerzita Palackého v Olomouci, **2016**.

³³ Jedinák, L.; Zátoková, R.; Zemánková, H.; Šustková, A.; Cankař, P. The Suzuki-Miyaura Cross-Coupling Reaction of Halogenated Aminopyrazoles: Method Development, Scope, and Mechanism of Dehalogenation Side Reaction. *J. Org. Chem.* **2017**, *82*, 157-169.

³⁴ Deng, J. Z.; Paone, D. V.; Ginnetti, A. T.; Kurihara, H.; Dreher, S. D.; Weissman, S. A.; Stauffer, S. R.; Burgoyne, C. S. Copper-Facilitated Suzuki Reactions: Application to 2-Heterocyclid Boronates. *Org. Lett.* **2009**, *11*, 345.

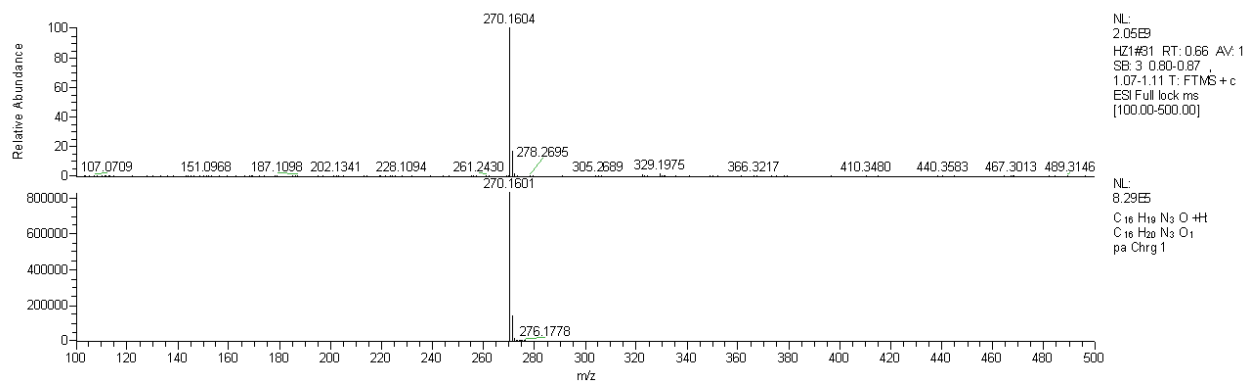
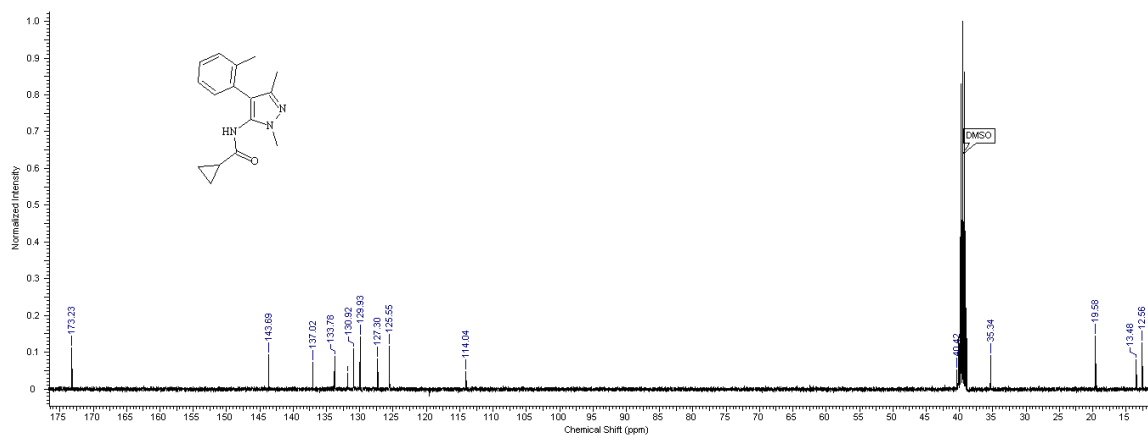
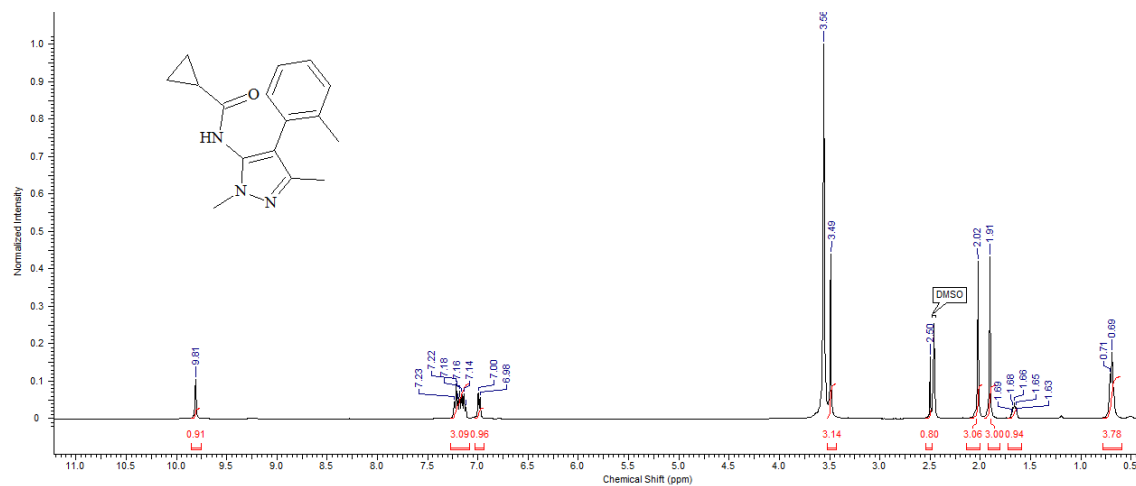
³⁵ Dick, G. R.; Woerly, E. M.; Burke, M. D. A General Solution for the 2-Pyridyl Problem. *Angew. Chem., Int. Ed.* **2012**, *51*, 2667.

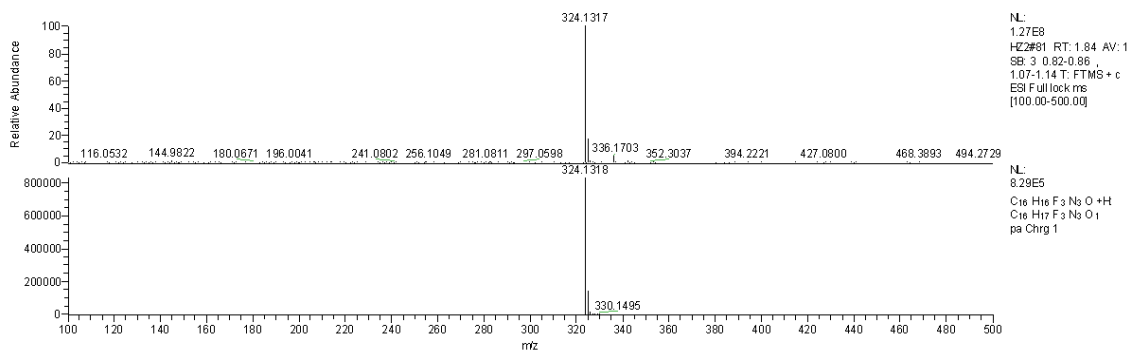
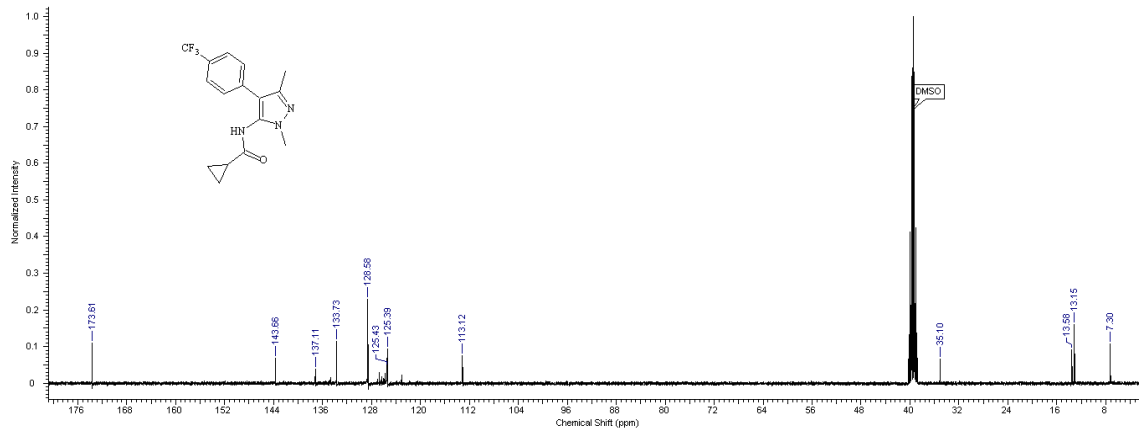
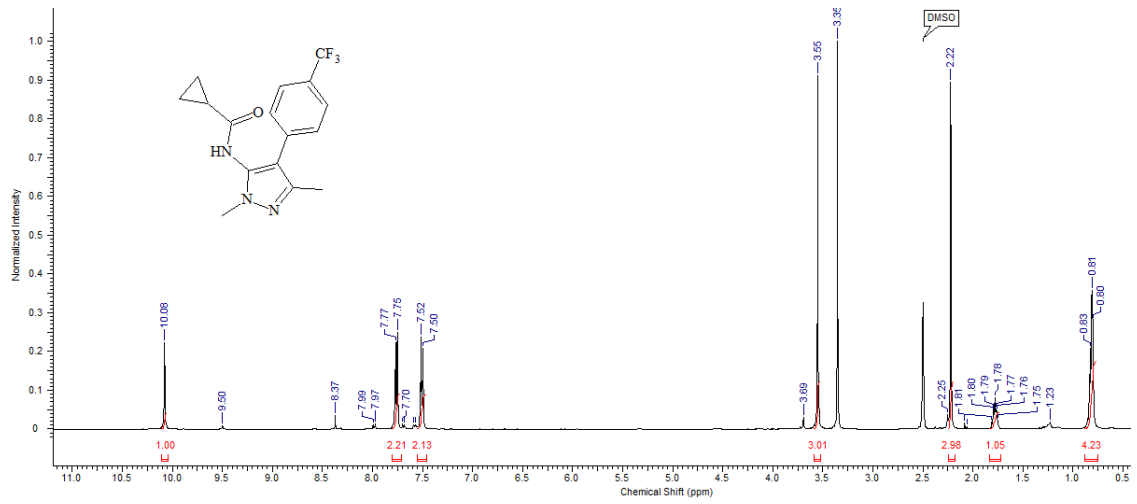
³⁶ Guram, A. S.; King, A. O.; Allen, J. G.; Wang, X.; Schenkel, L. B.; Chan, C.; Bunel, E. E.; Faul, M. M.; Larsen, R. D.; Martinelli, M. J.; Reider, P. J. New Air-Stable Catalysts for General and Efficient Suzuki-Miyaura Cross-Coupling Reactions of Heteroaryl Chlorides. *Org. Lett.* **2006**, *8*, 1787.

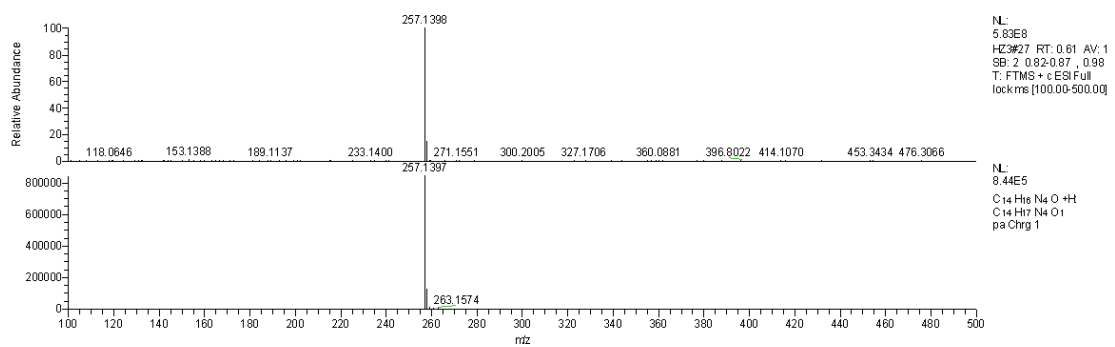
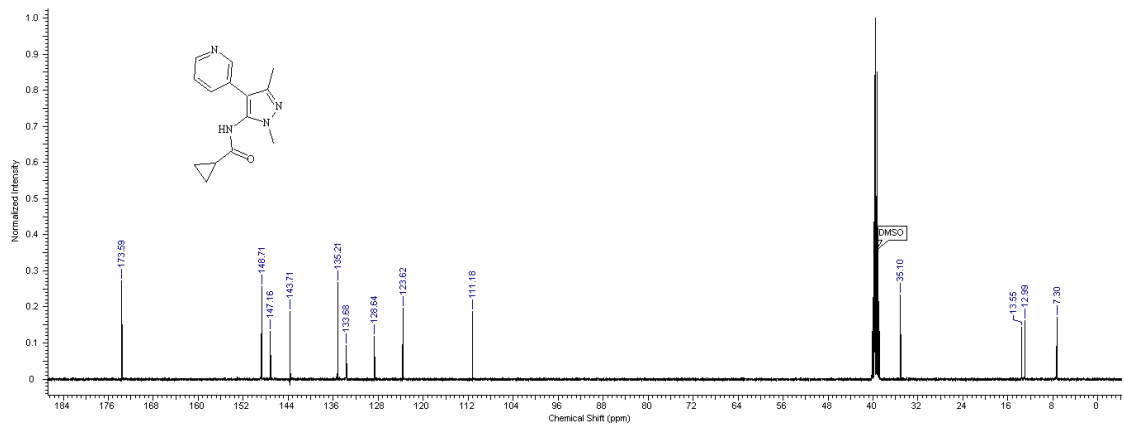
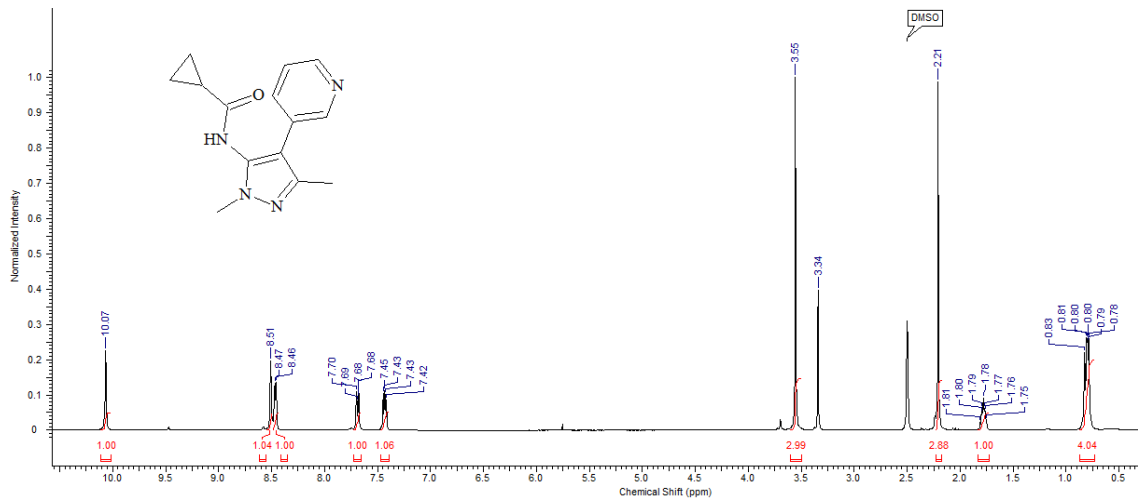
³⁷ Xiang, S., Yuan, H., Huang, P. Amide Activation by Tf₂O: Reduction of Amides to Amines by NaBH₄ under Mild Conditions. *Synlett* **2010**, *12*, 1829-1832.

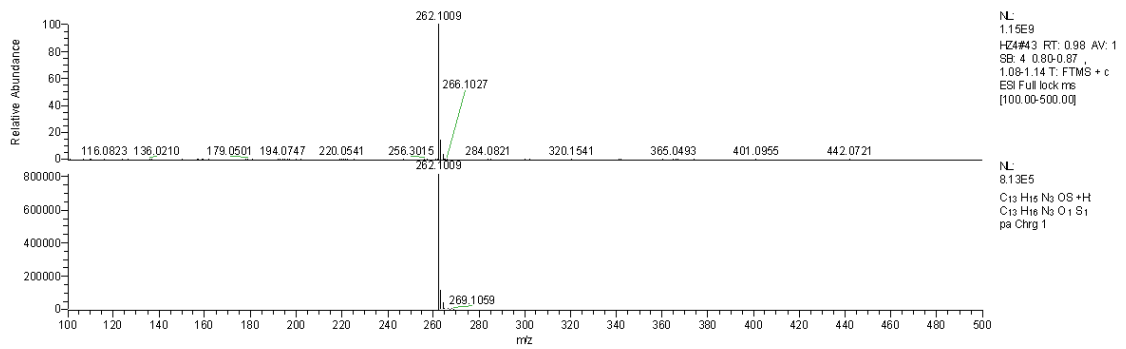
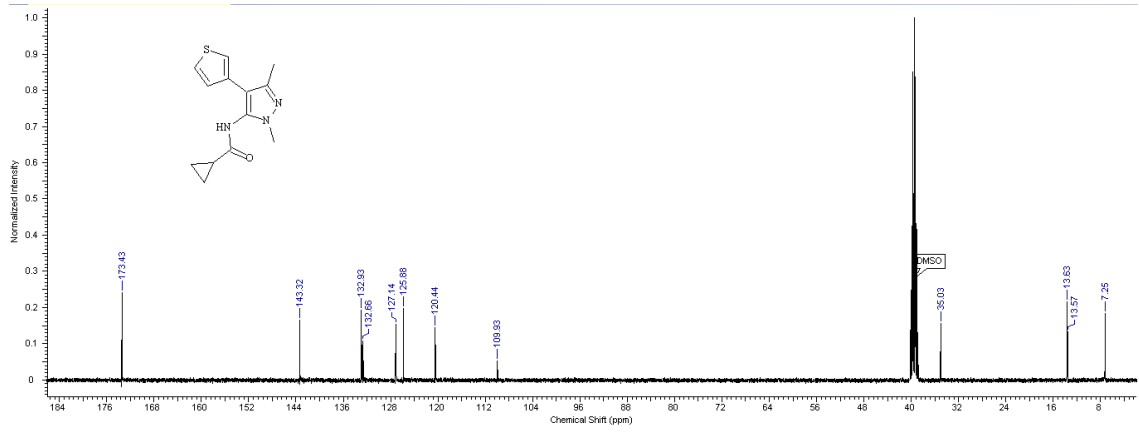
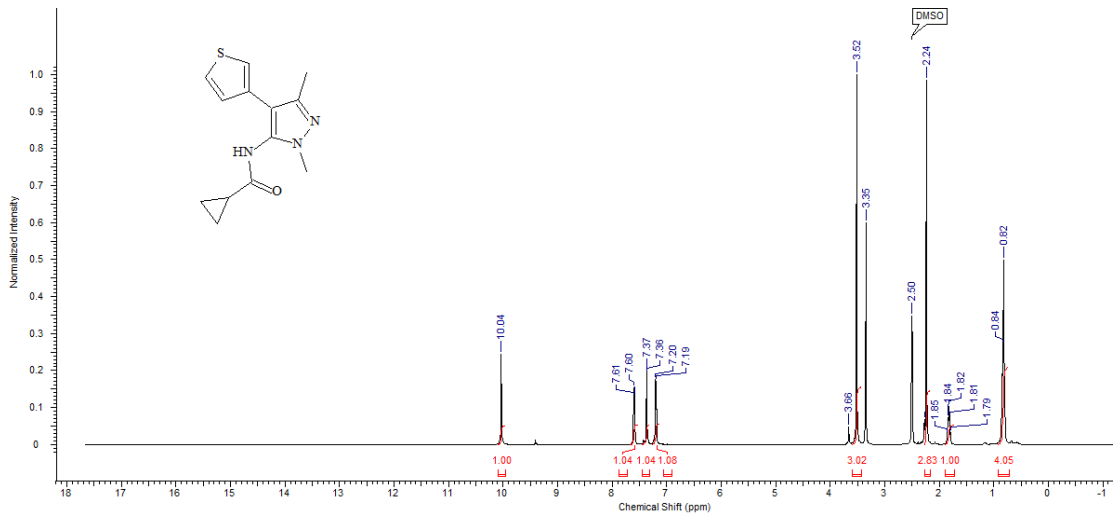
6 Přílohy

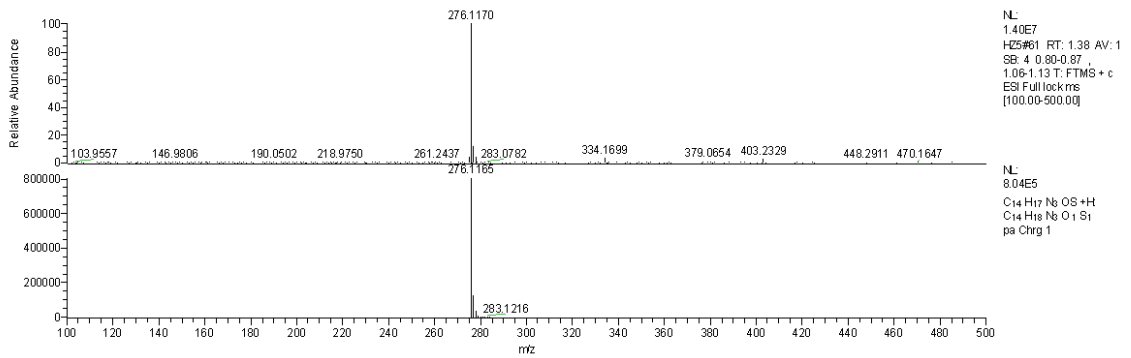
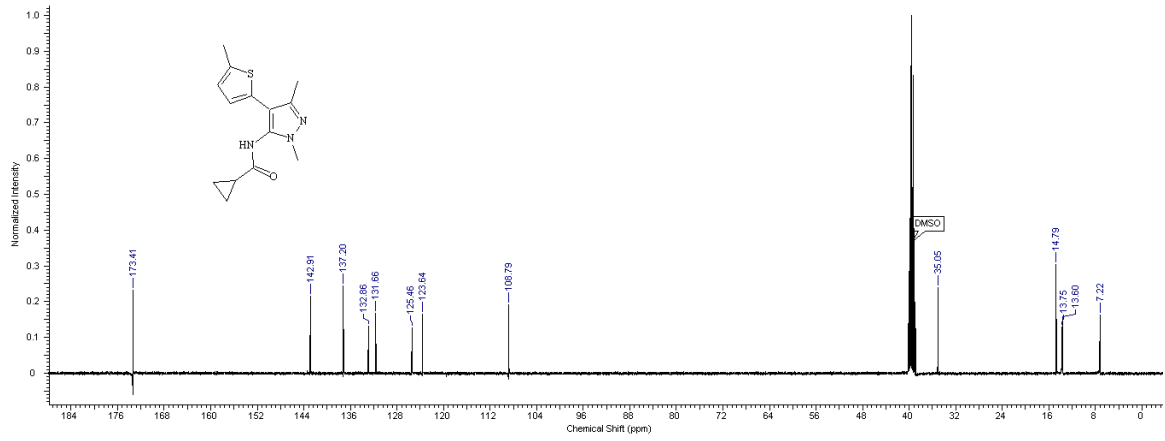
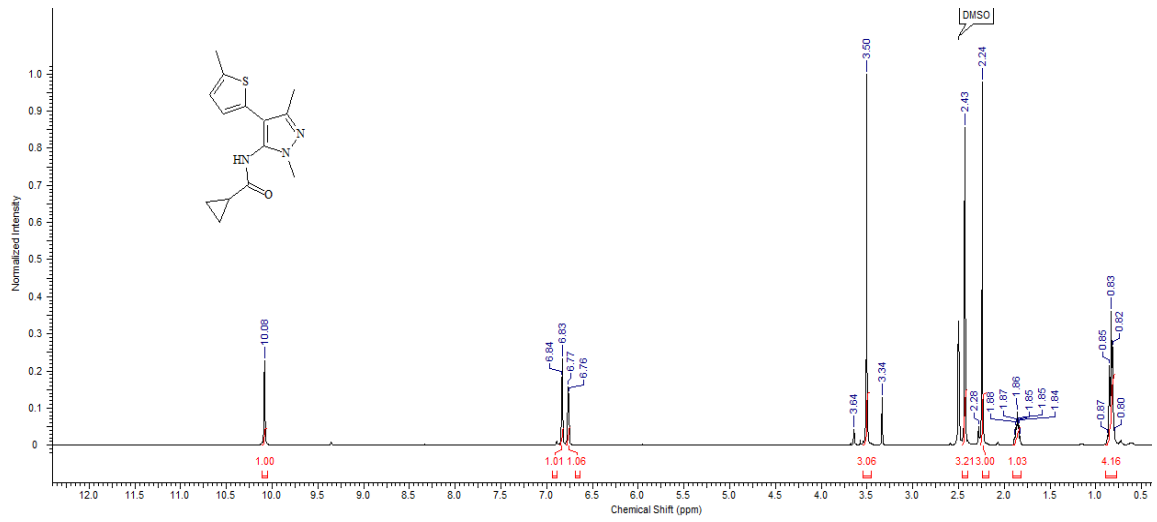
Kopie NMR spekter ^1H a ^{13}C , HRMS

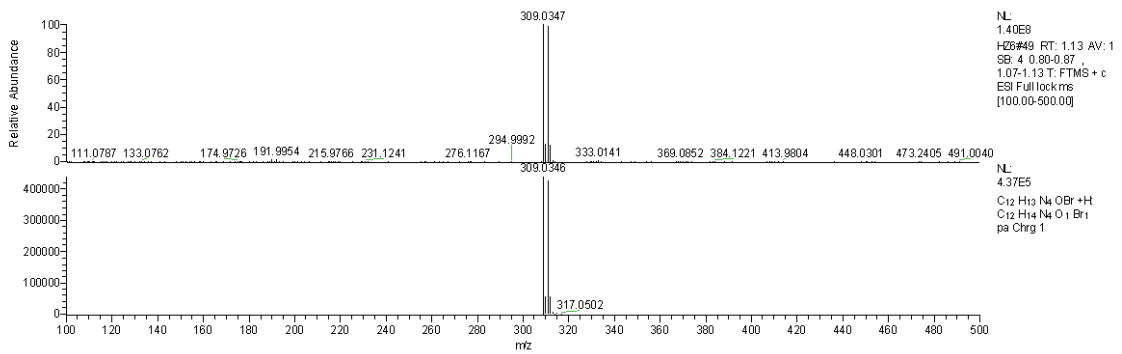
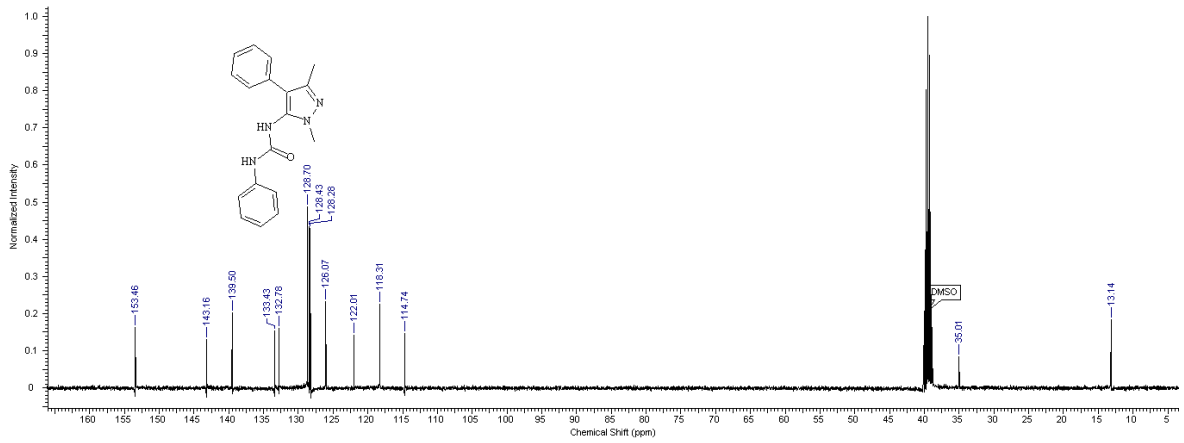
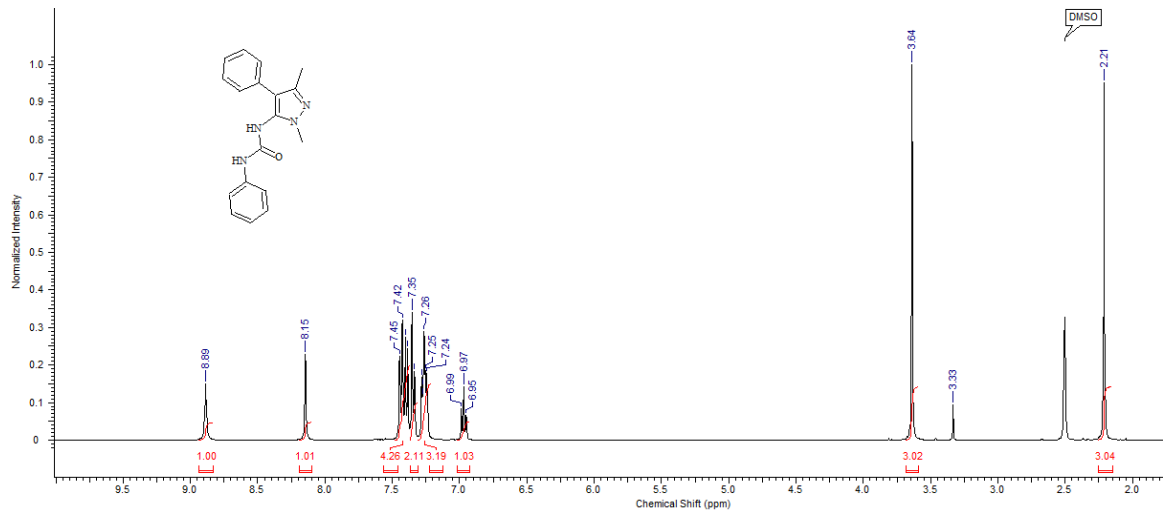


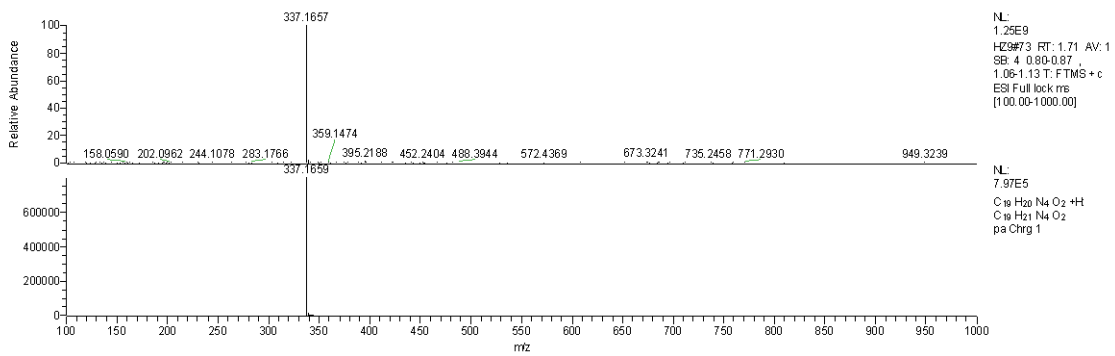
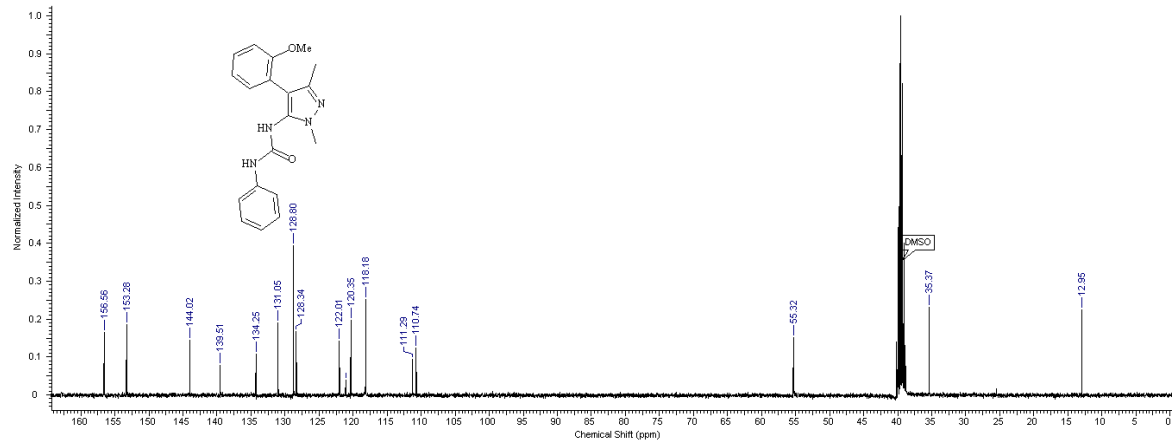
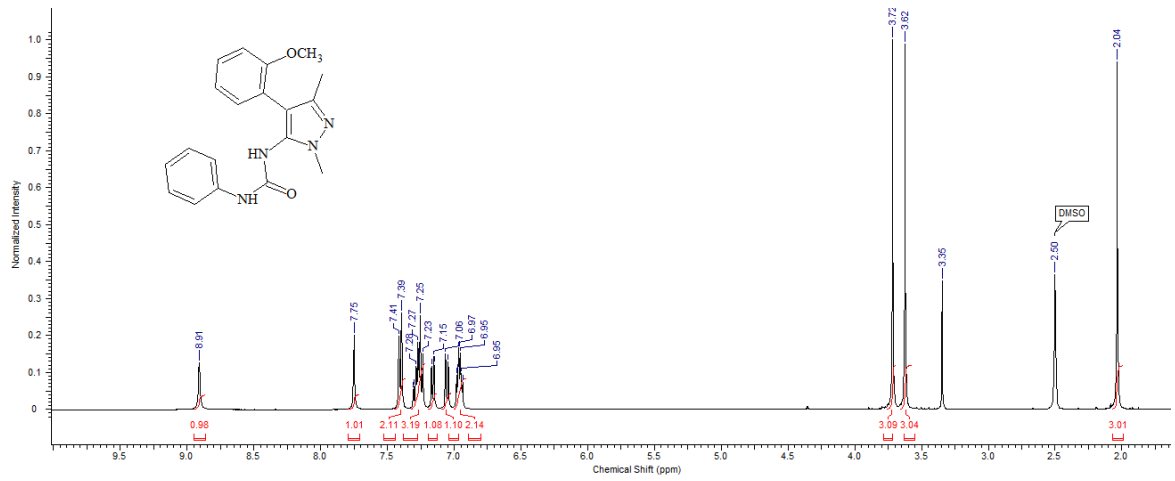


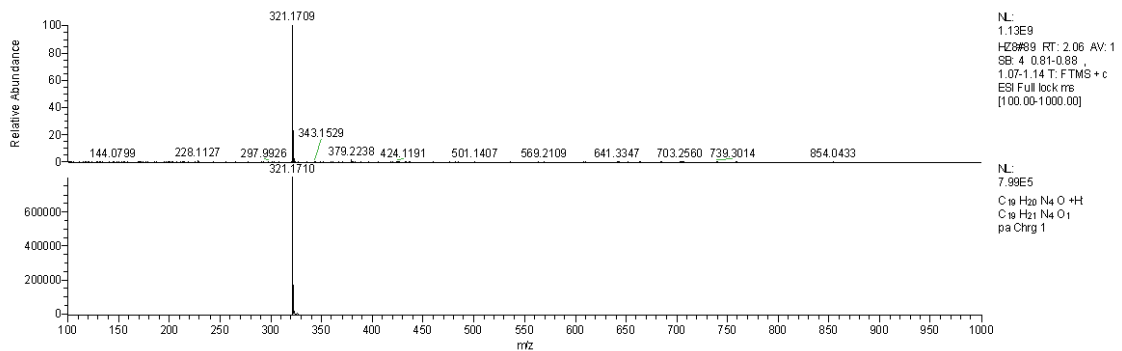
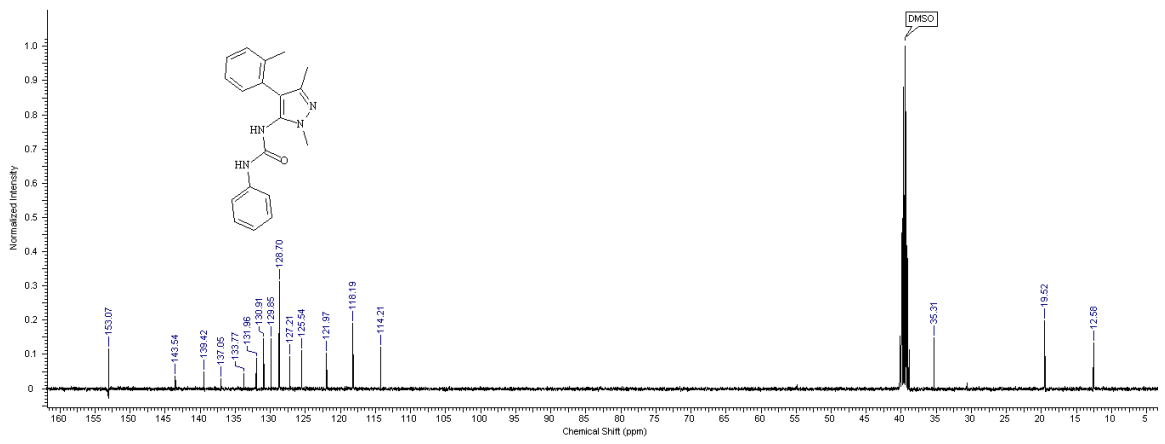
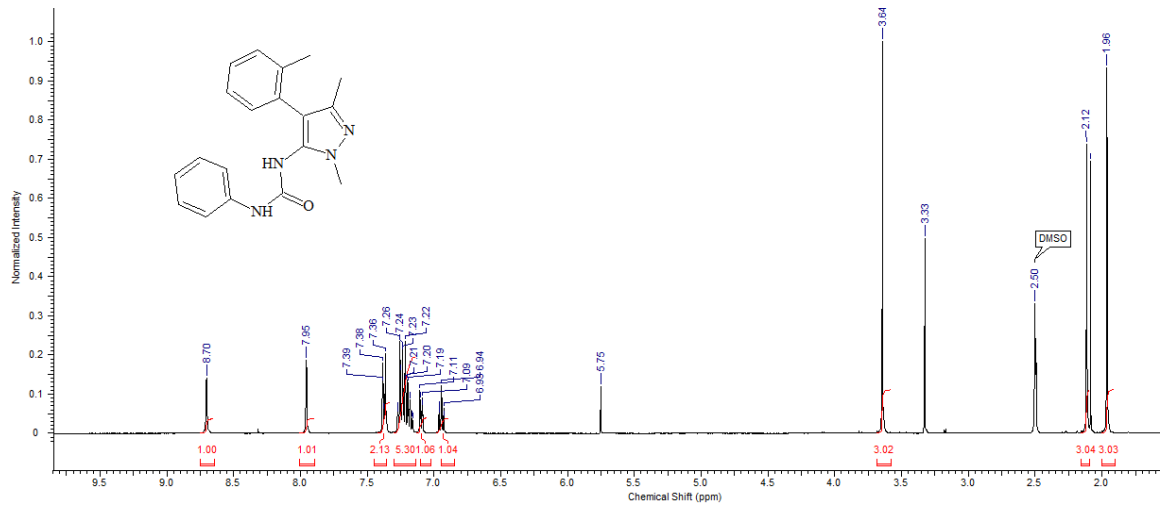


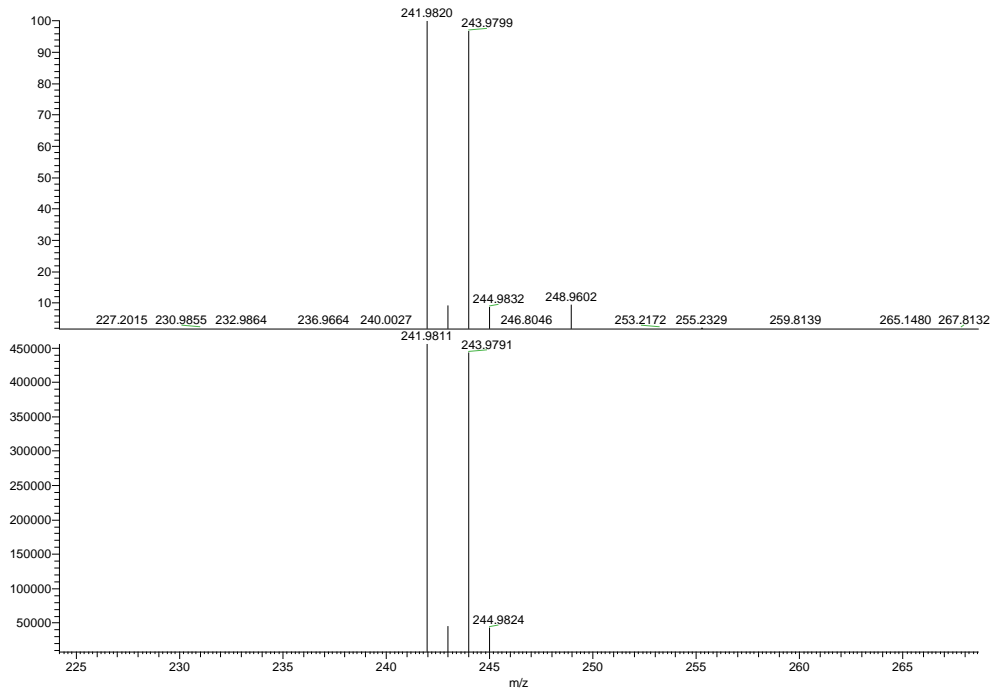
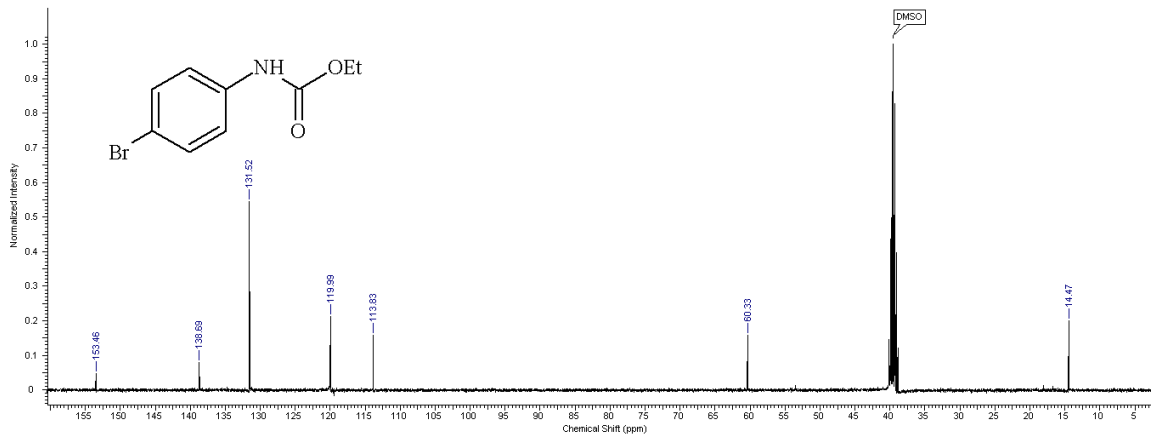
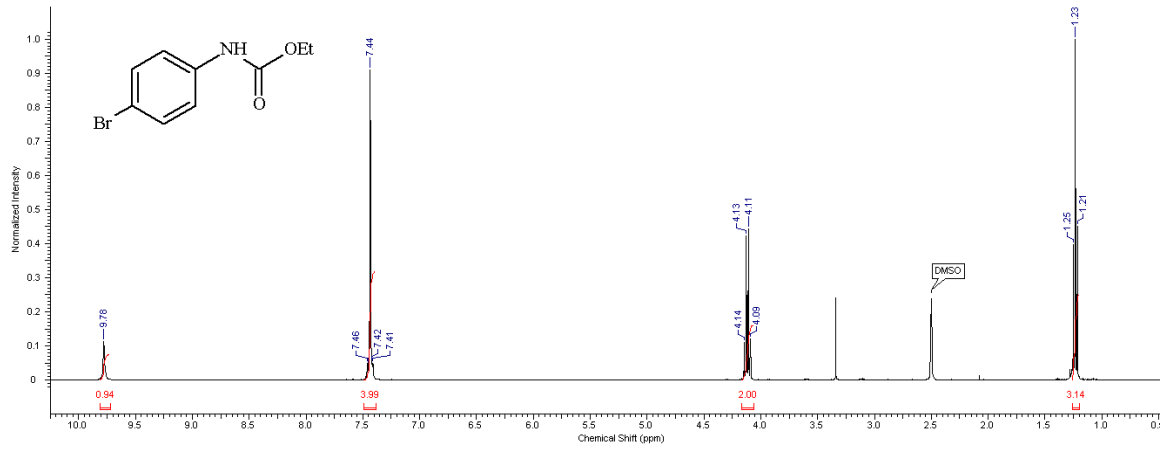












NL:
1.31E6
HZ10#34 RT: 0.75
AV: 1 SB: 2 0.82-0.84
0.84 T: FTMS - c ESI
Full ms
[100.00-500.00]

NL:
4.56E5
C₉H₉BrNO₂:
C₉H₉Br₁N₁O₂
pa Chrg 1

